

Universität
Rostock



Traditio et Innovatio



Windturbinen und alternative Energiequellen

Prof. Dr.-Ing. Hendrik Wurm
Lehrstuhl für Strömungsmaschinen

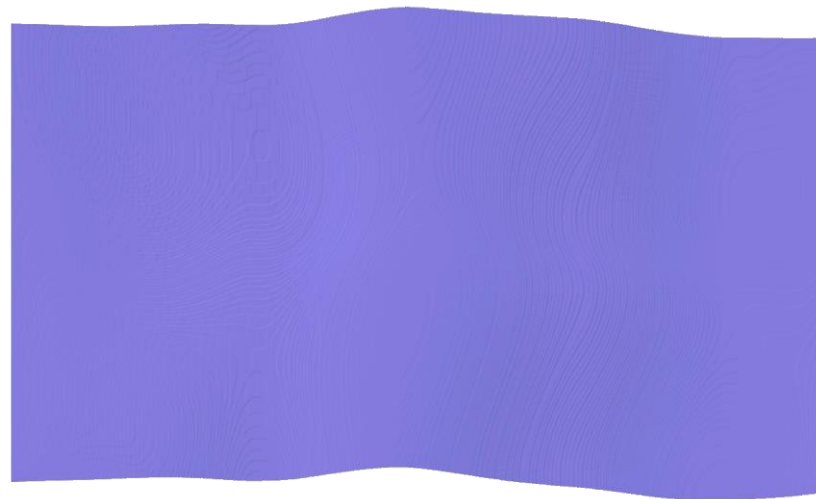


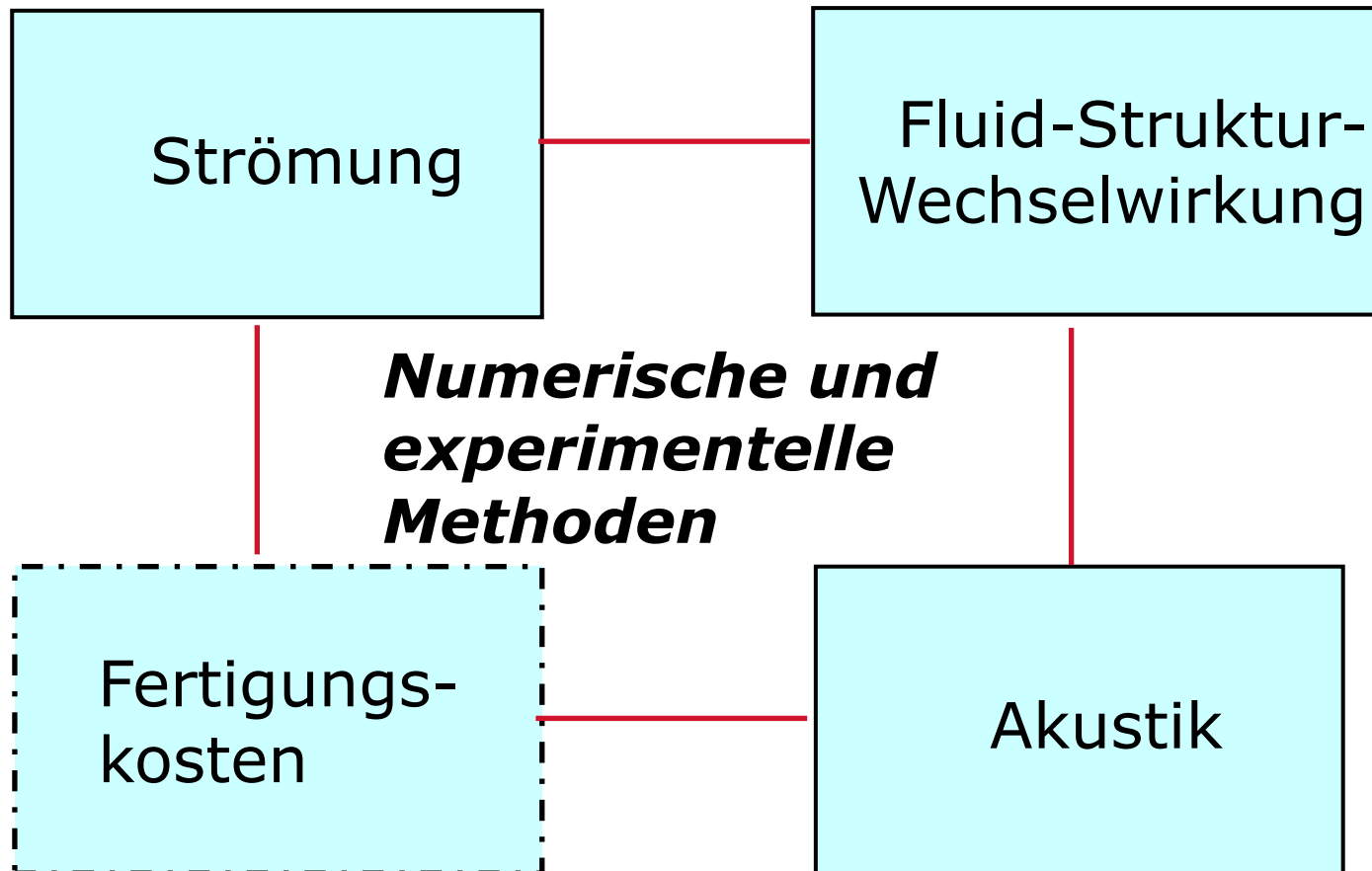
- Einführung / industrieller Hintergrund (Vorlesung 1)
- Energieinhalt im Wind und Aufbau von Windkraftanlagen (Vorlesung 2)
- Grundlagen der Aerodynamik (Vorlesung 3)
- Windentstehung und Messung der Windgeschwindigkeit (Vorlesung 4)
- Grundlagen für den Rotorentwurf (Vorlesung 5)

- Entwurf und aerodynamische Optimierung des Rotors (Vorlesung 5,6)
- Anpassung an veränderte Windverhältnisse und Verluste (Vorlesung 7)
- **Grundlagen der Aeroelastik, Fluid-Struktur-Wechselwirkungen (Vorlesung 8,9)**
- Schallquellen an Windkraftanlagen und Maßnahmen zur Lärmreduzierung (Vorlesung 10)



- spezielle Herausforderungen an offshore-Windparks (Vorl. 11)
- Gezeitenturbinen (Vorlesung 12)
- Solarthermie und Photovoltaik (Vorlesung 13)
- Geothermie (Vorlesung 14)
- Zusammenfassung (Vorlesung 14)



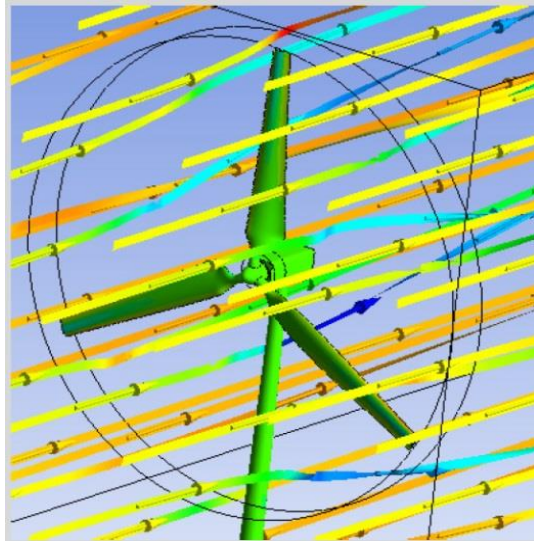


- Aeroelastik – untersucht die Wechselwirkungen zwischen aerodynamischen Kräften und elastischen Körpern
- Fluid-Struktur-Wechselwirkungen (engl. Fluid Structure Interactions – FSI)
- Anwendungen: Flugzeugtragflügel, Flugzeugrumpf, Rotorschaufeln aus Kunststoffen (Windturbine, Ventilator, Schiffspropeller, Rührwerke, etc.), Komponenten an Fahrzeugen

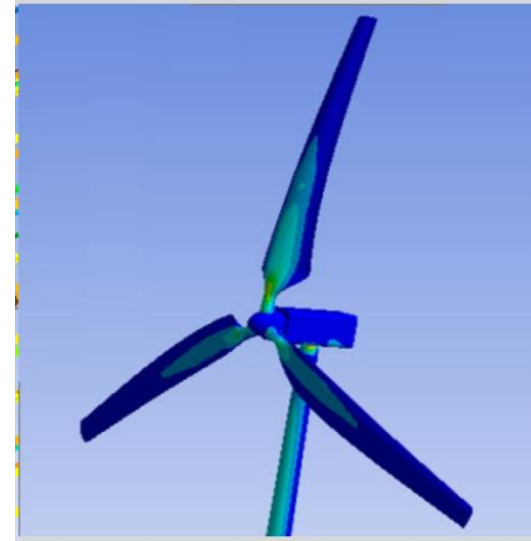
- statisch (z.B. aus stationärer Zuströmung)
- dynamisch periodisch oder nicht-periodisch (z.B. aus fluktuierender Zuströmung durch Grenzschichteinfluss, Turmvorstau, turbulente Effekte, Böen, u.a.)
- Biegung
- Torsion

- linear elastisch
- nichtlinear elastisch
- isotrop
- anisotrop

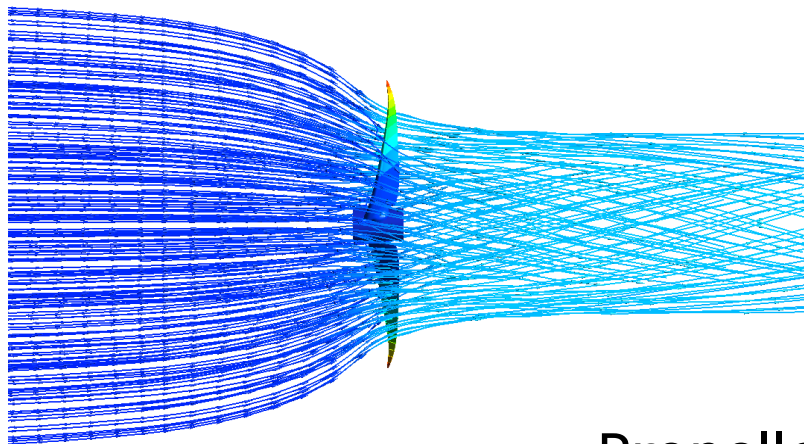
Tafelbilder



Turbinen



Deformation in
Strömungs-
richtung



Propeller



Deformation entgegen
der Strömungsrichtung



Ziele

- Analyse der Änderungen im Betriebsverhalten durch die Verformungen
- Analyse der Betriebssicherheit
- Nutzung der anisotropen Eigenschaften von Faser-Verbundwerkstoffen zur positiven Beeinflussung des Betriebsverhaltens
- Analyse der Schallabstrahlung

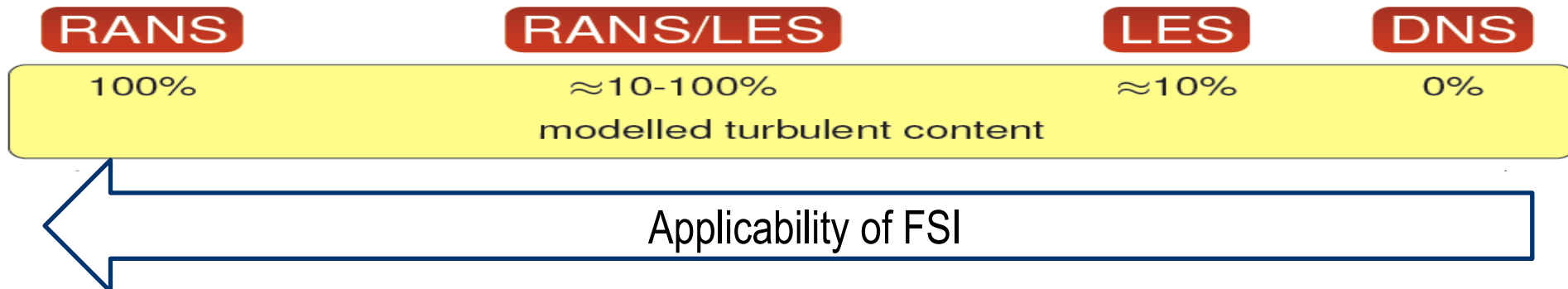
❖ Strukturmechanik

$$[M_s]\{\ddot{U}\} + [K_s]\{U\} = \{F_s\} + \{F_f\}$$

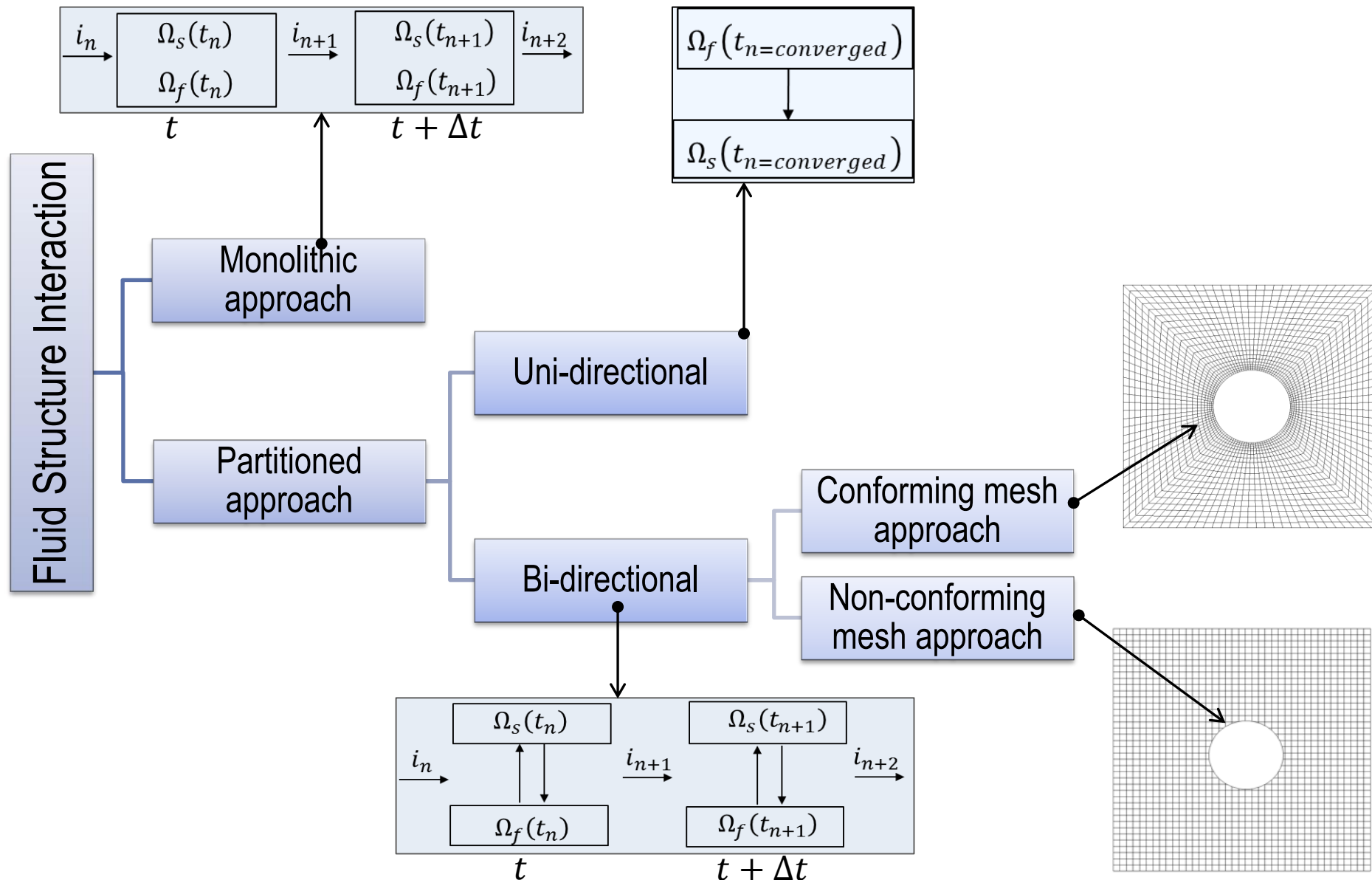
❖ Strömungsmechanik

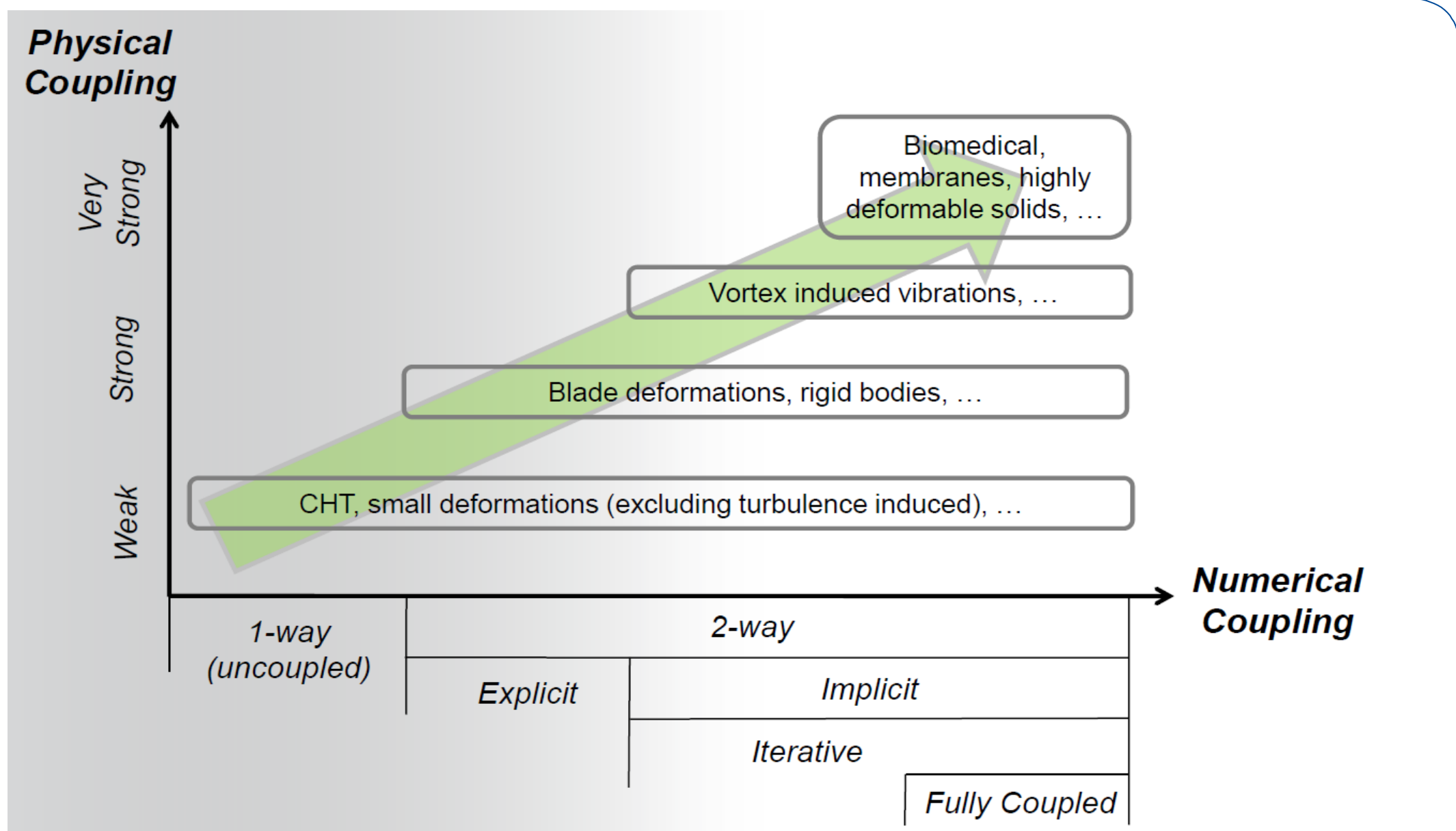
$$\frac{\partial \rho}{\partial t} + \nabla \cdot (\rho \vec{V}) = 0$$

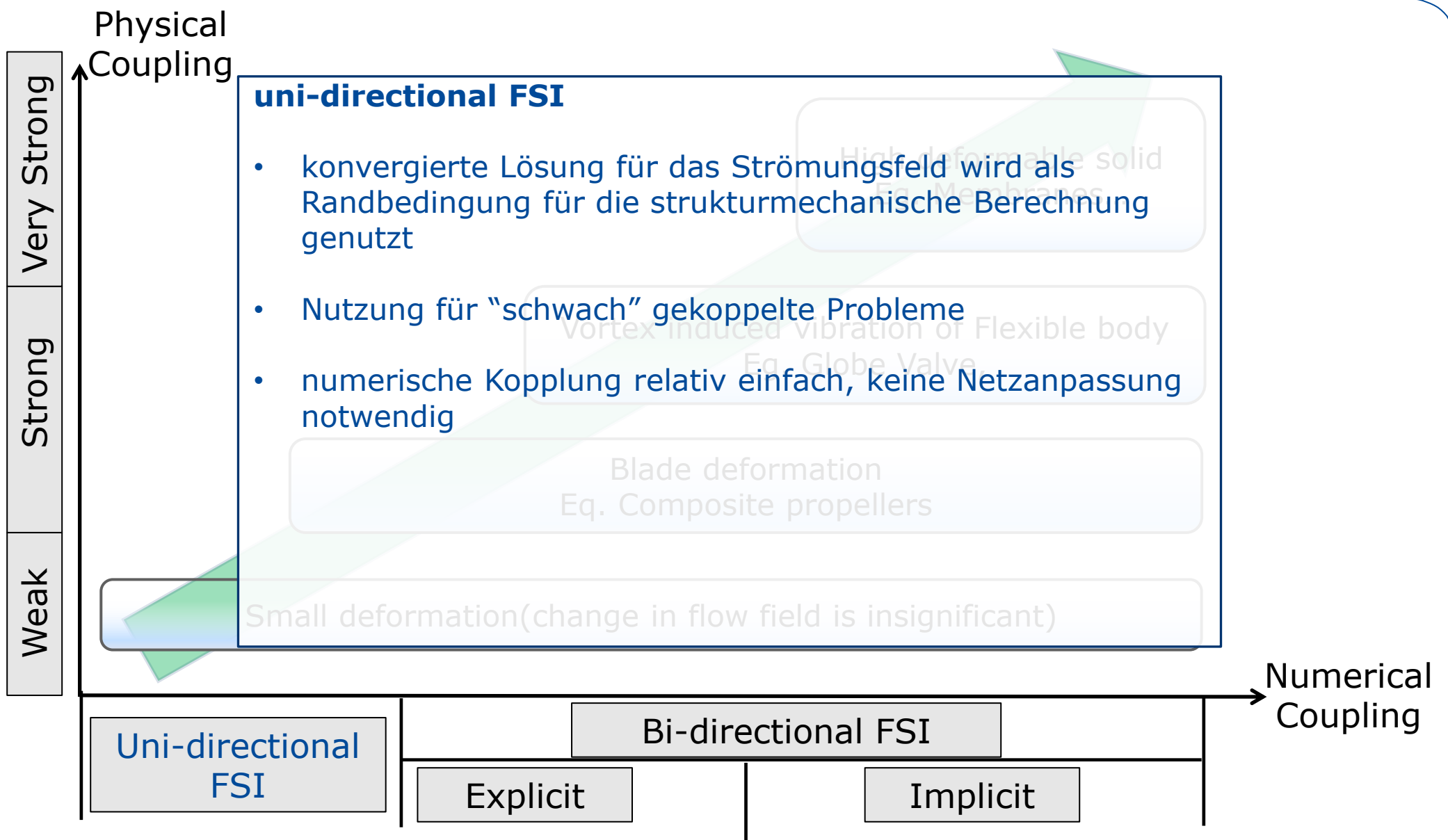
$$\rho \left(\frac{\partial \vec{V}}{\partial t} + \vec{V} \cdot \nabla \vec{V} \right) = -\nabla P + \nabla \cdot \tau_{ij} + F_b$$

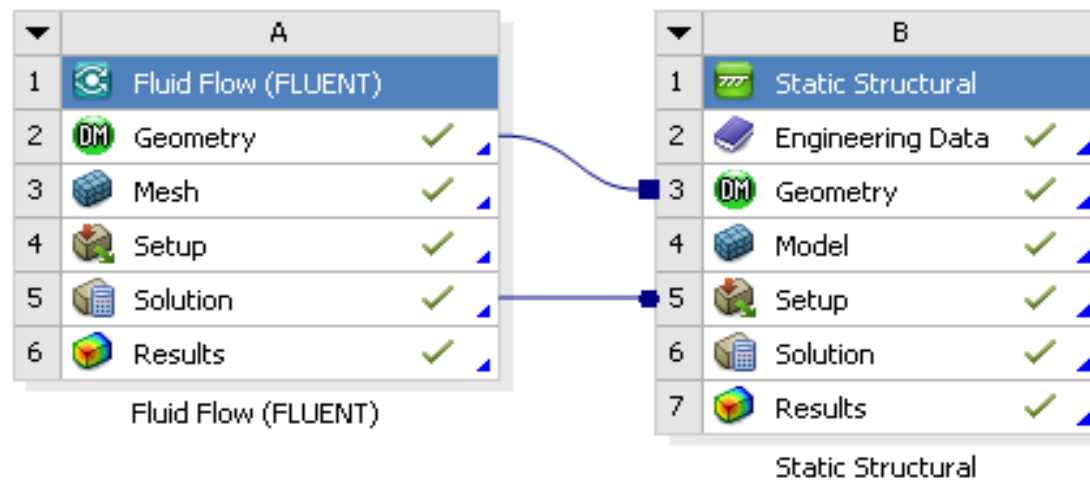
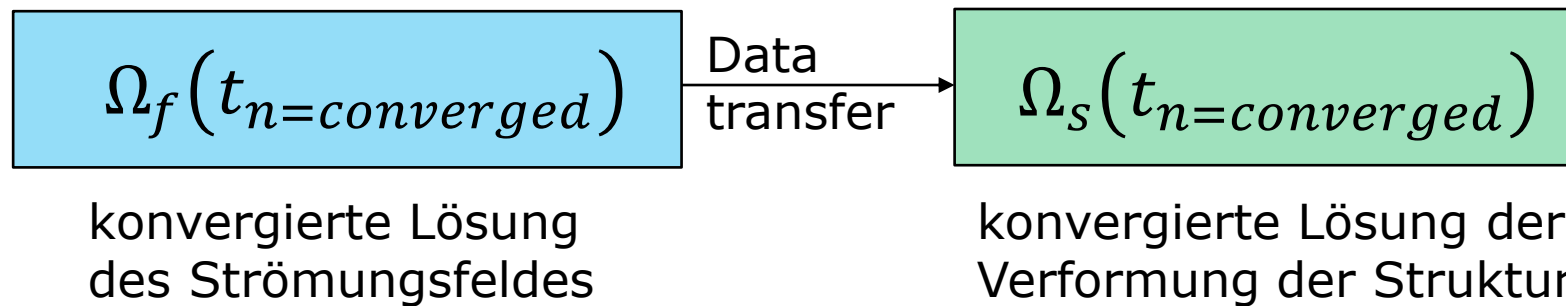


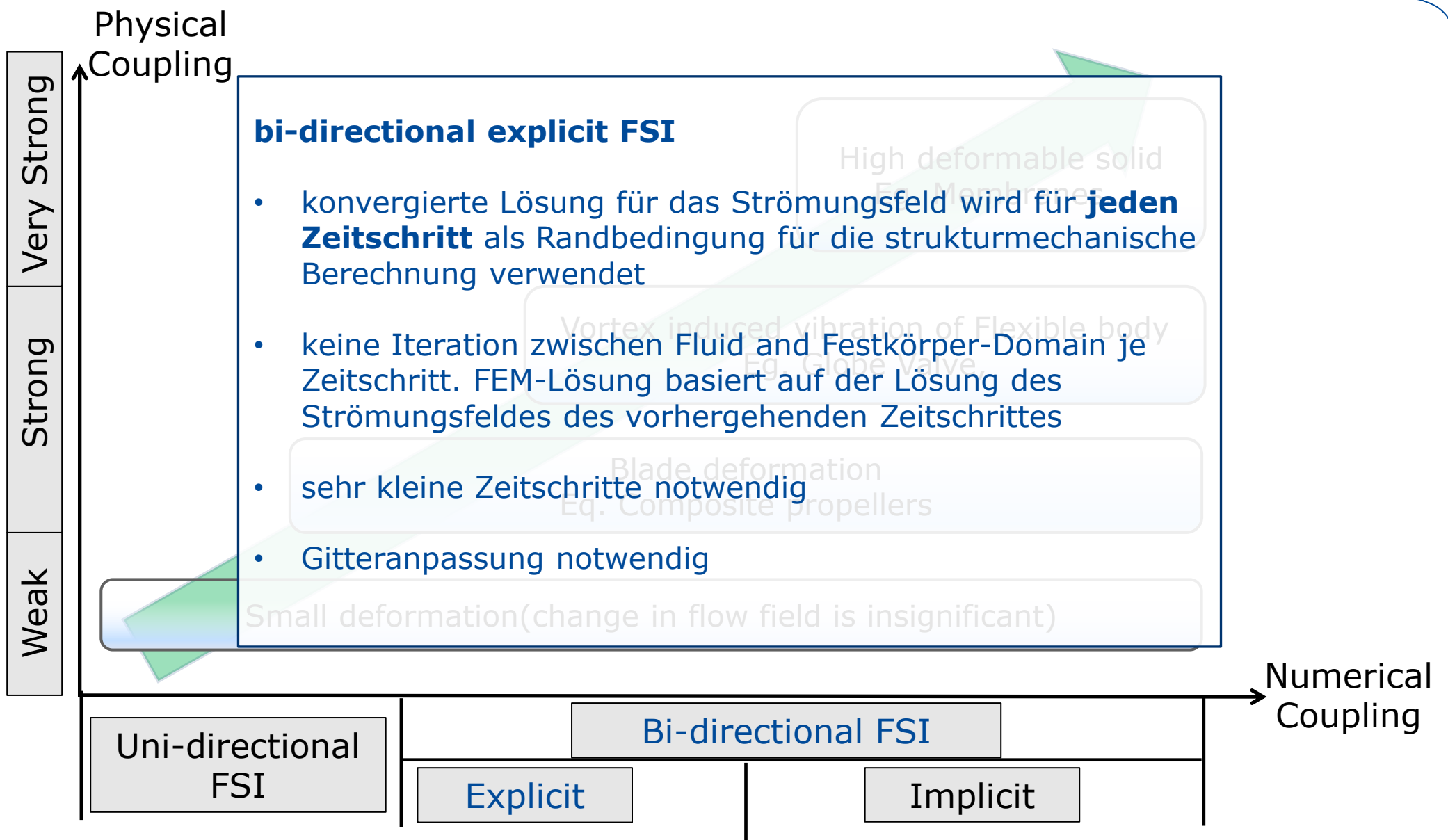
Klassifizierung von FSI-Methoden



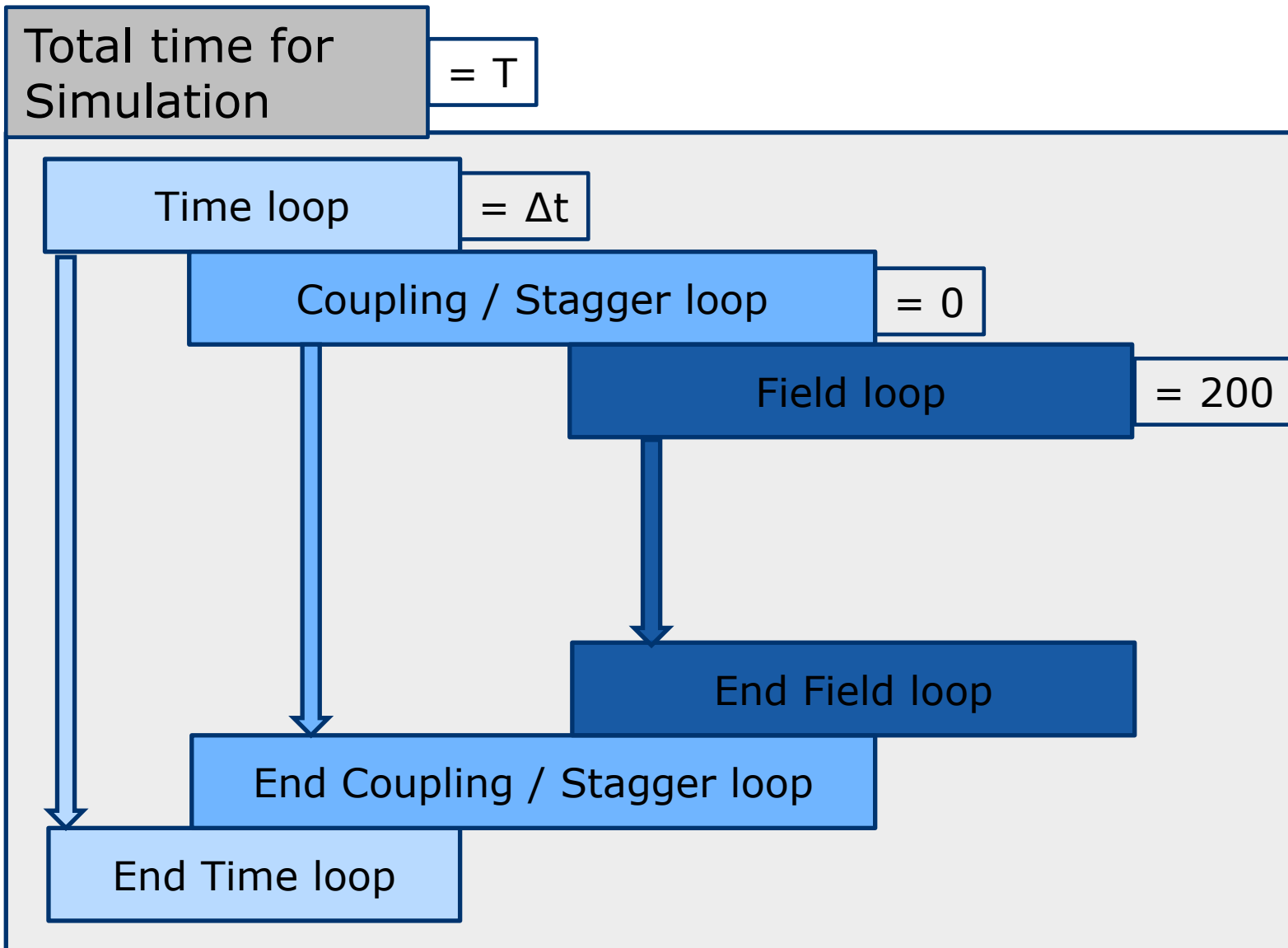


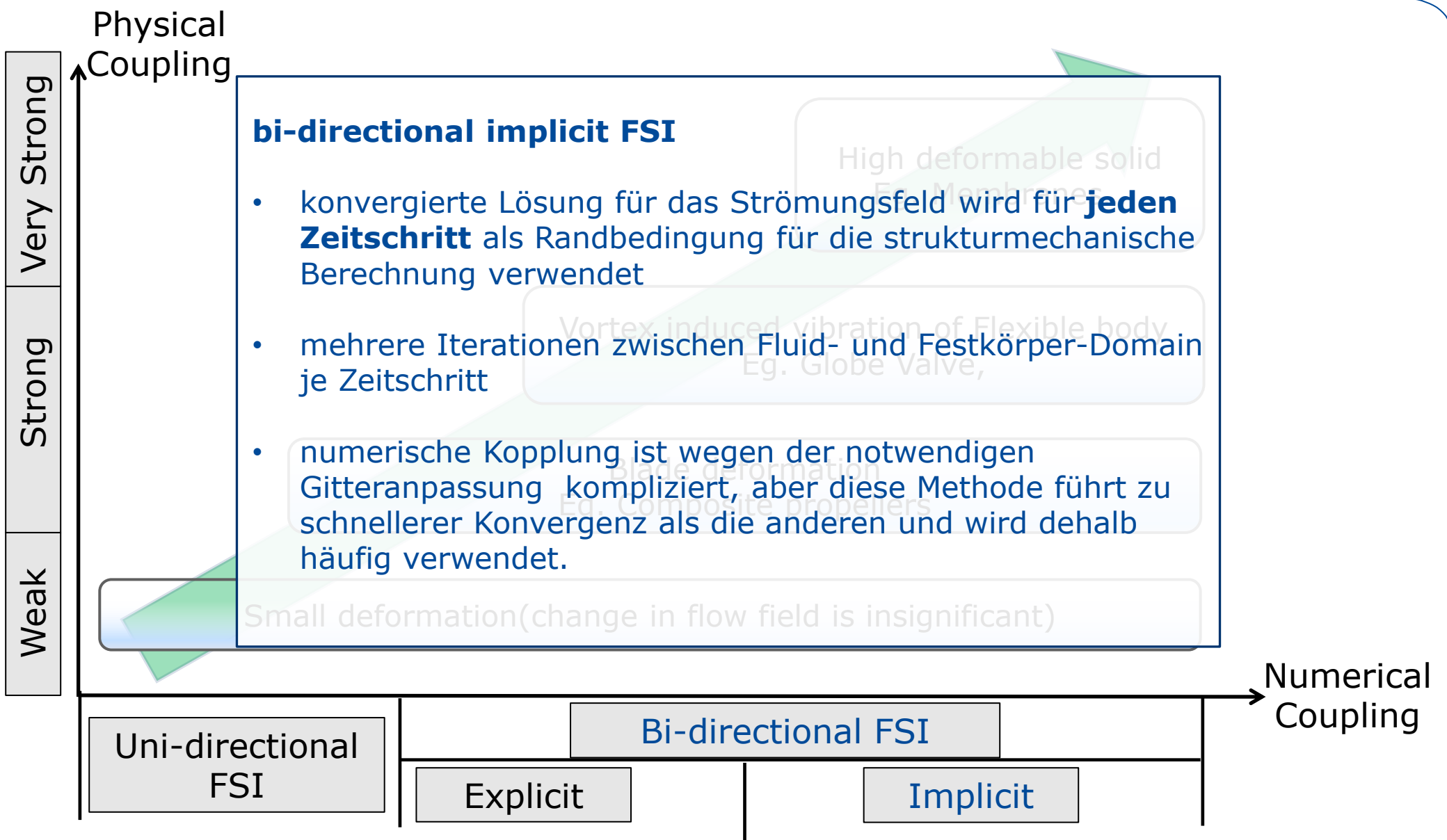




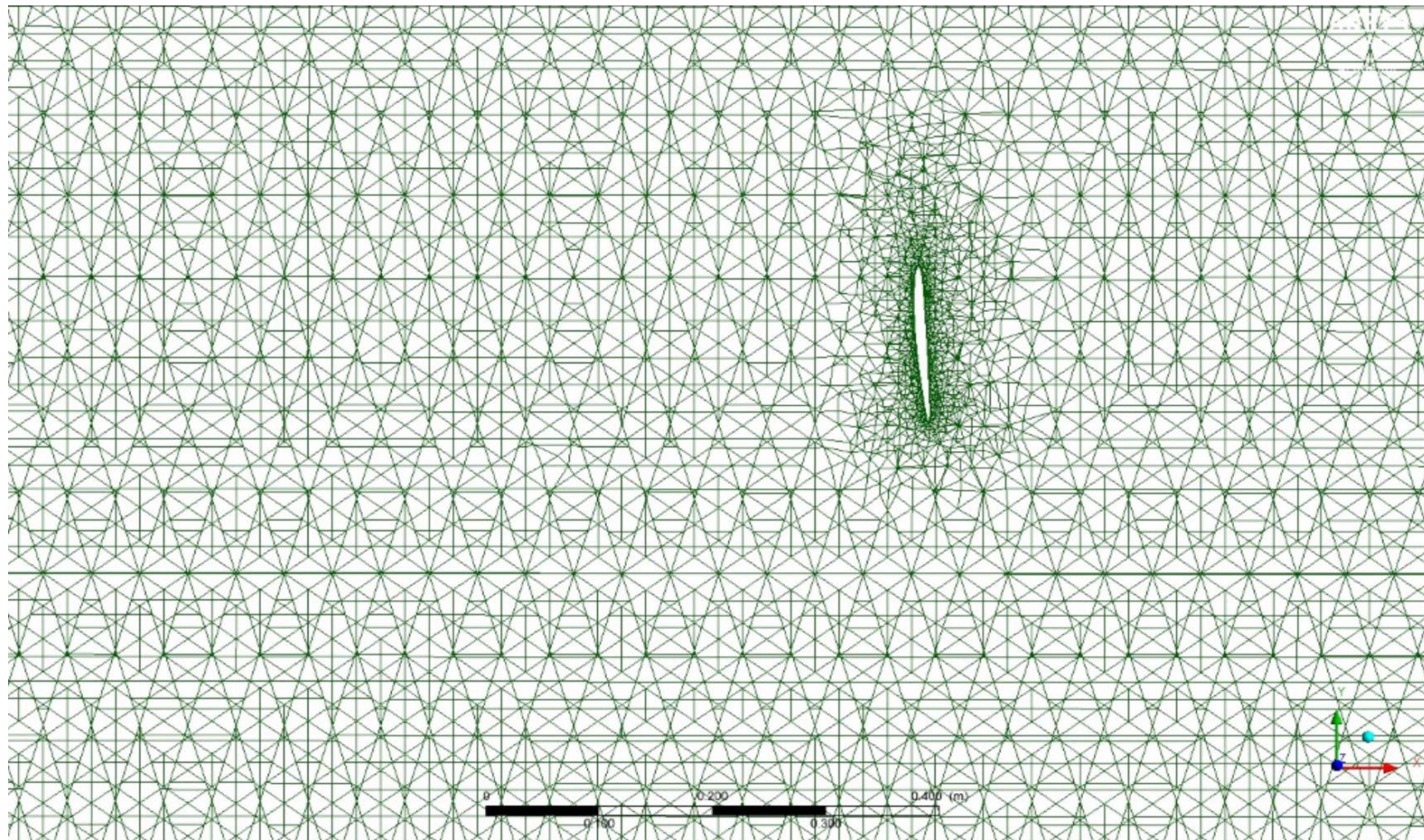


bi-directional explicit FSI

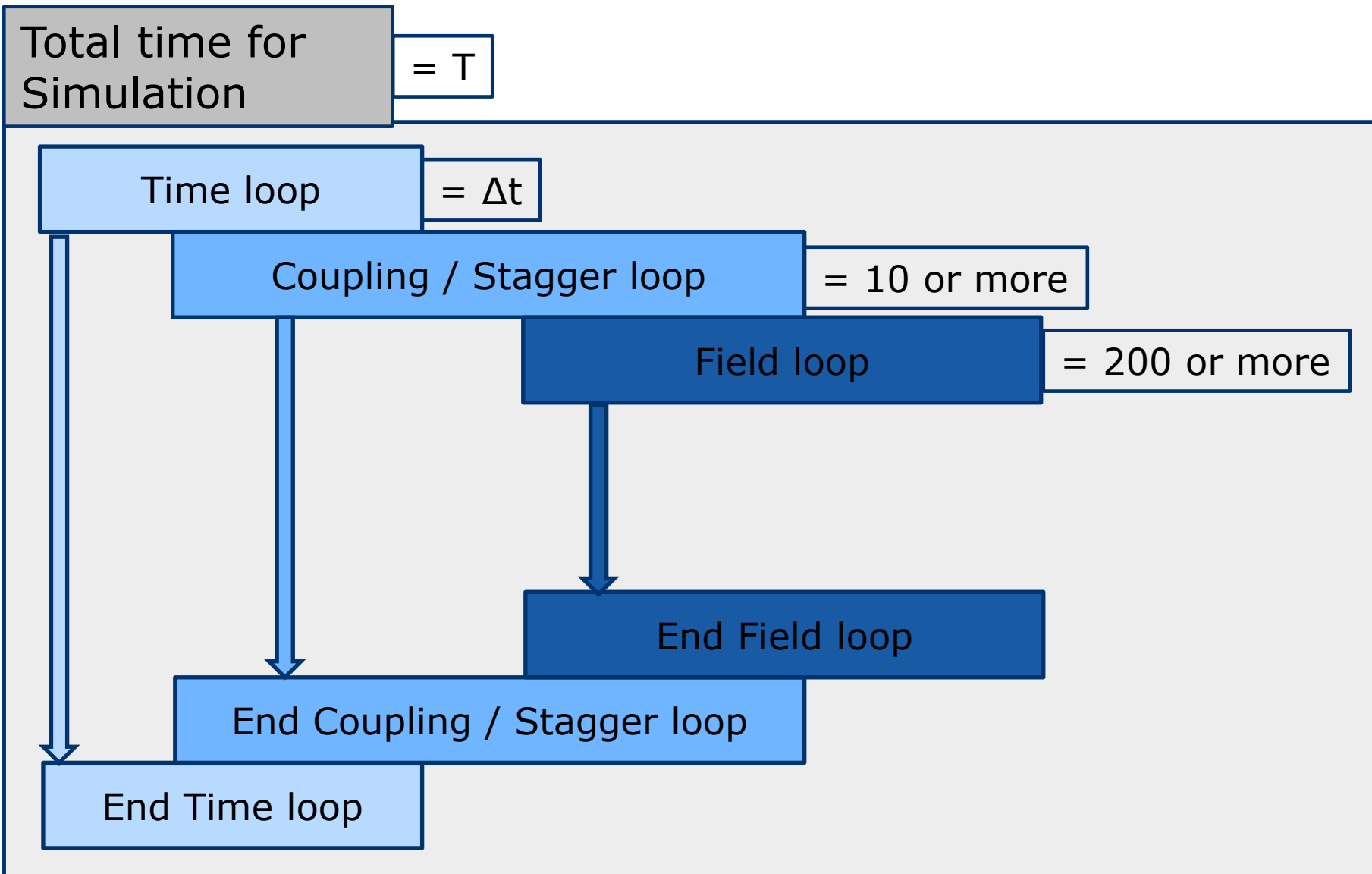




- notwendig, wenn Verformung so groß wird, dass Gitterzellen negative Volumen erhalten



bi-directional implicit FSI



Physical Coupling

Very Strong
Strong
Weak

Fully Coupled

- Fluid and Solid equations solved in a single monolithic matrix
 - Like Mass and Momentum with the coupled solver in Fluent, or coupled field elements in the Mechanical solver
- Fields remain very tightly coupled
- But very difficult to solve a monolithic fluid-structure matrix
- Not available with Mechanical – Fluent coupling

membranes, highly deformable solids, ...

Flügel, water hammer, ...

large deformations, rigid bodies, ...

CFD, small deformations (excluding turbulence induced), ...

1-way
(uncoupled)

2-way

Numerical Coupling

Explicit

Implicit

Iterative

Fully Coupled

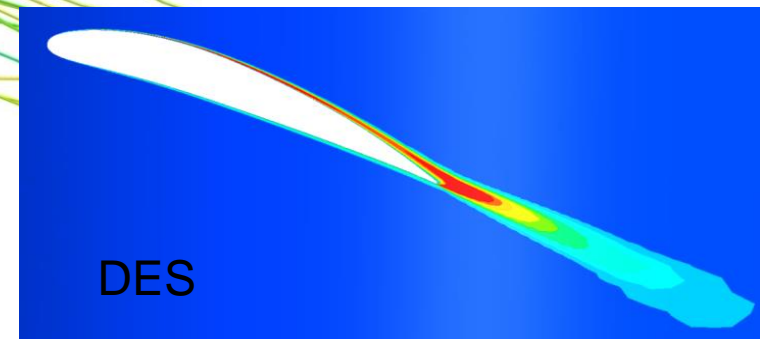
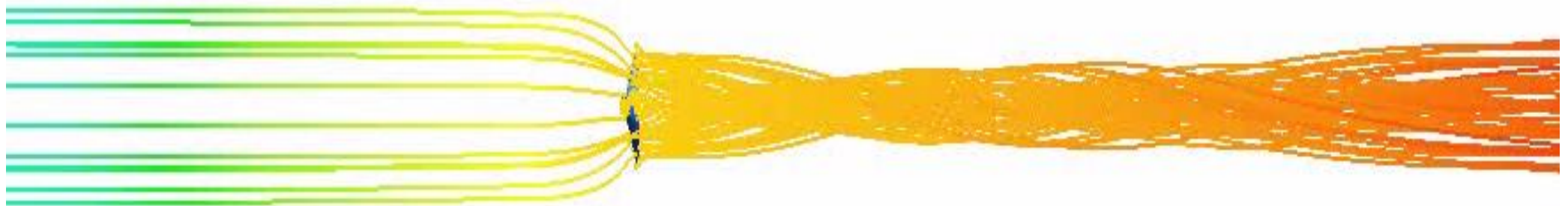
$$\begin{bmatrix} M_s & 0 \\ \rho_0 R^T & M_f \end{bmatrix} \begin{Bmatrix} \ddot{U} \\ \ddot{P} \end{Bmatrix} + \begin{bmatrix} K_s & -R \\ 0 & K_f \end{bmatrix} \begin{Bmatrix} U \\ P \end{Bmatrix} = \begin{Bmatrix} F_s \\ F_f \end{Bmatrix}$$



Anwendung auf

- Turbinen
- Rührwerke
- Pumpen
- Armaturen

Anwendung uni-directional und bi-directional implicit FSI - Strömungssimulation -



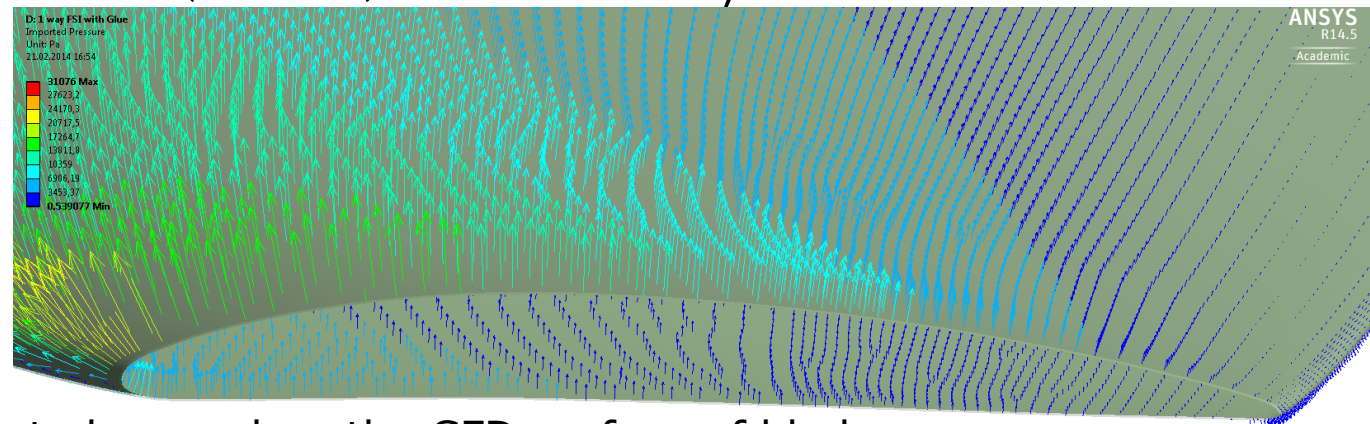
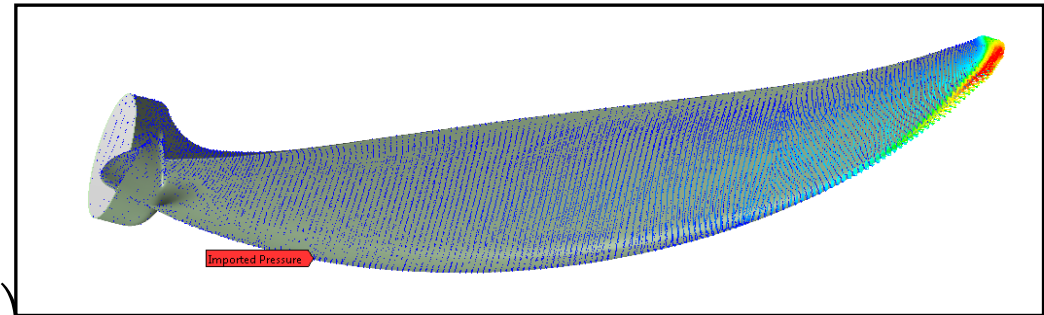
$$F_x = Pressure * Area * Normal X$$

$$F_y = Pressure * Area * Normal Y$$

$$F_z = Pressure * Area * Normal Z$$

$$\overrightarrow{Pressure\ load} = \left(F_x / Area, F_y / Area, F_z / Area \right)$$

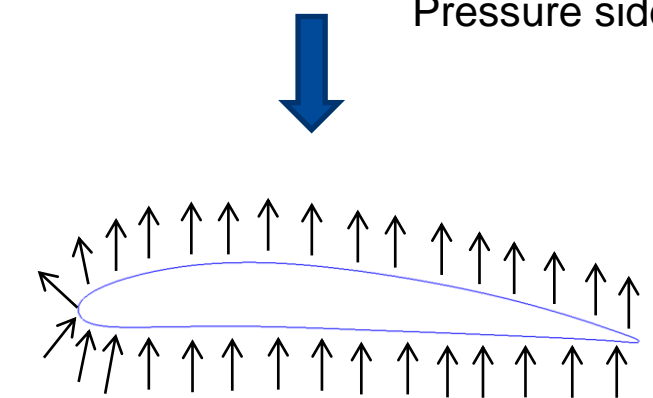
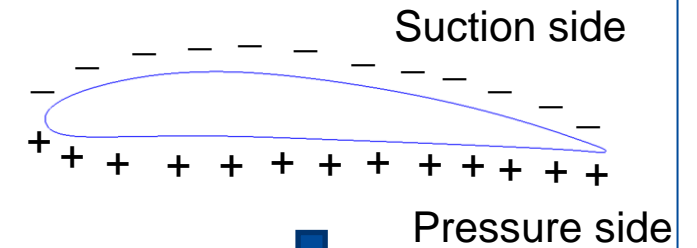
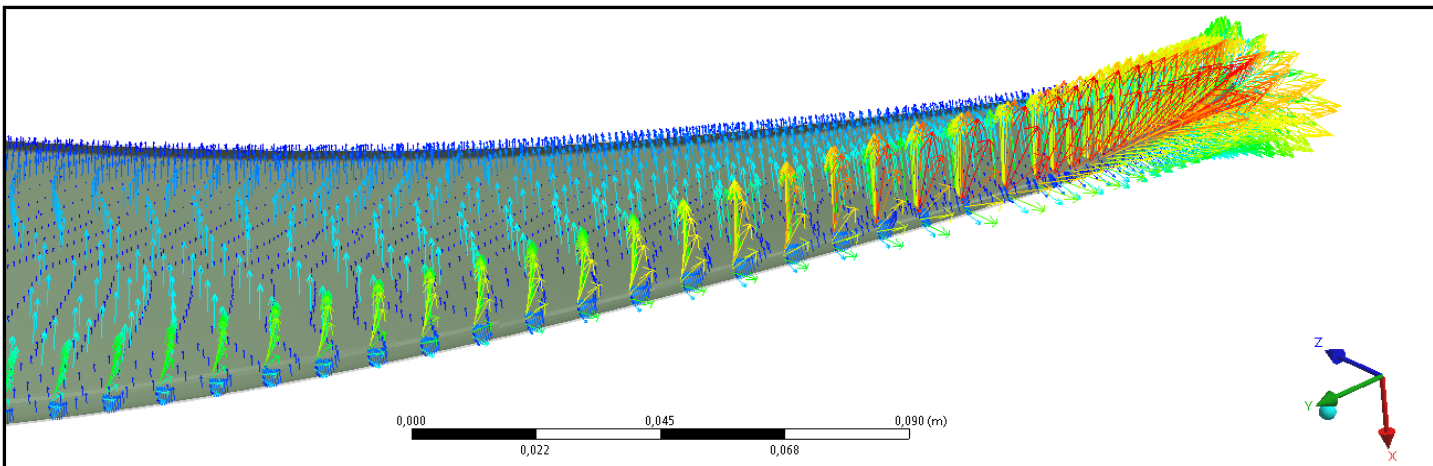
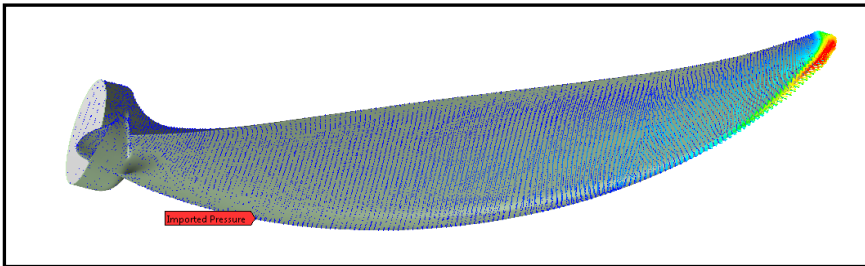
$$|Pressure\ load| = Sqrt \left(\left(F_x / Area \right)^2 + \left(F_y / Area \right)^2 + \left(F_z / Area \right)^2 \right)$$



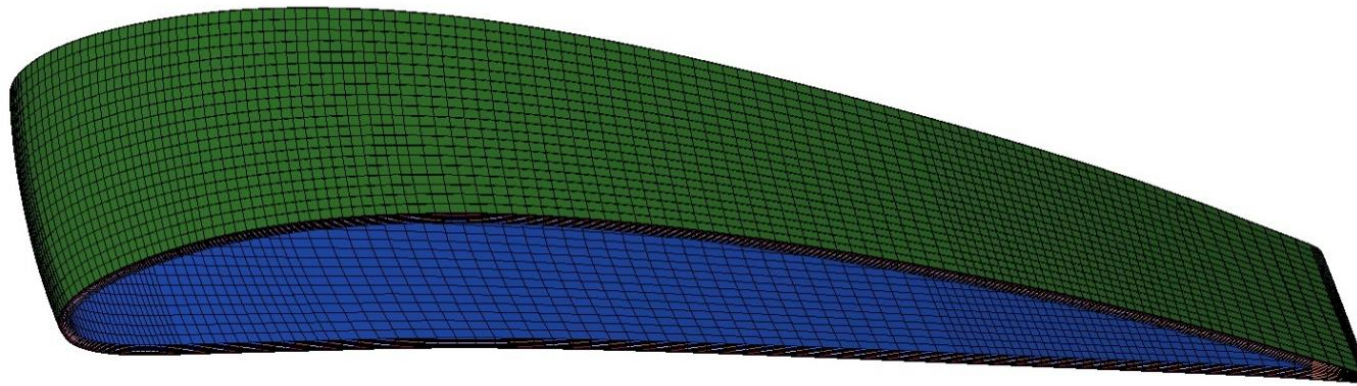
Mapping algorithm,

1. Mechanical nodes are projected normal on the CFD surface of blade.
2. Mechanical nodes are project on closest edge.
3. Mechanical nodes are projected to the closest node on CFD face.

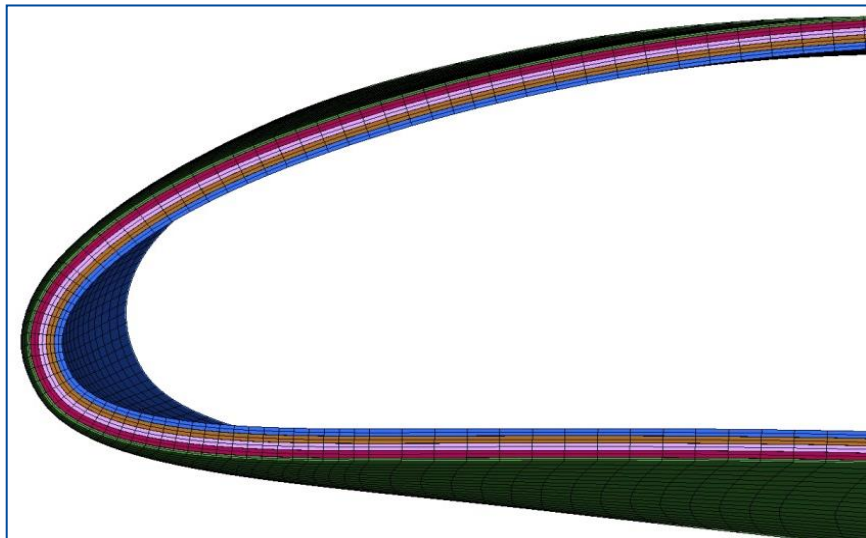
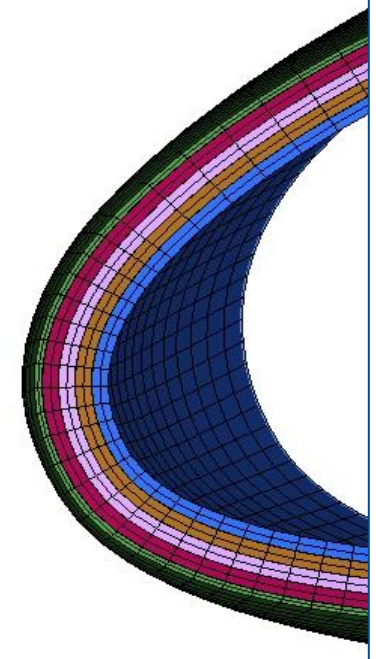
Mapping	CFD Computed Force	Mechanical Mapped Force
X- component	-1957.5 N	-1964.6 N
Y- component	-531.4 N	-518.1 N
Z- component	-27.3 N	-9.2 N



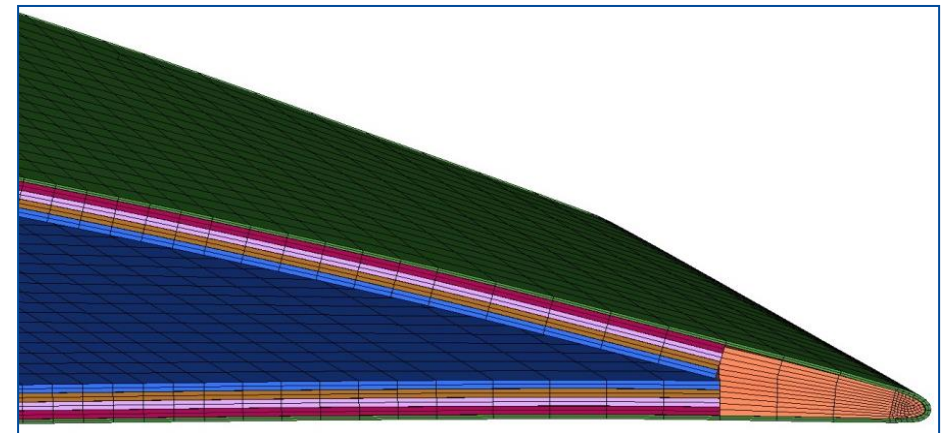
Mapping of Pressure force for mechanical solver



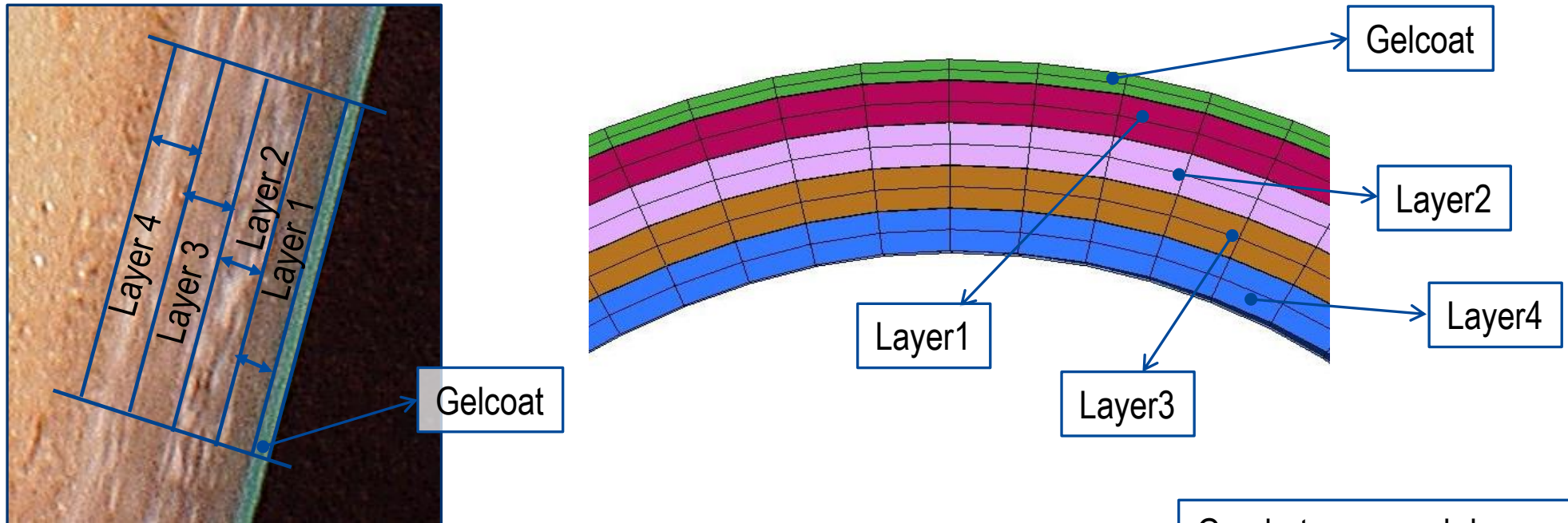
- Gelcoat
- Layer1
- Layer2
- Layer3
- Layer4



Leading Edge



Trailing edge

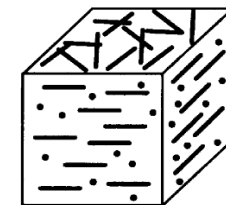
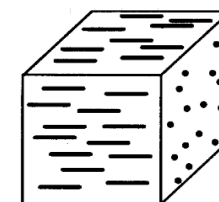


	Thickness	Material	Orientation
Gelcoat	0.42mm	Polyester resin	Uniform
Layer1	0.80mm	Glass fibers	Random
Layer2	0.84mm	Glass fibers	± 45 degree
Layer3	0.80mm	Glass fibers	Random
Layer4	0.84mm	Glass fibers	± 45 degree

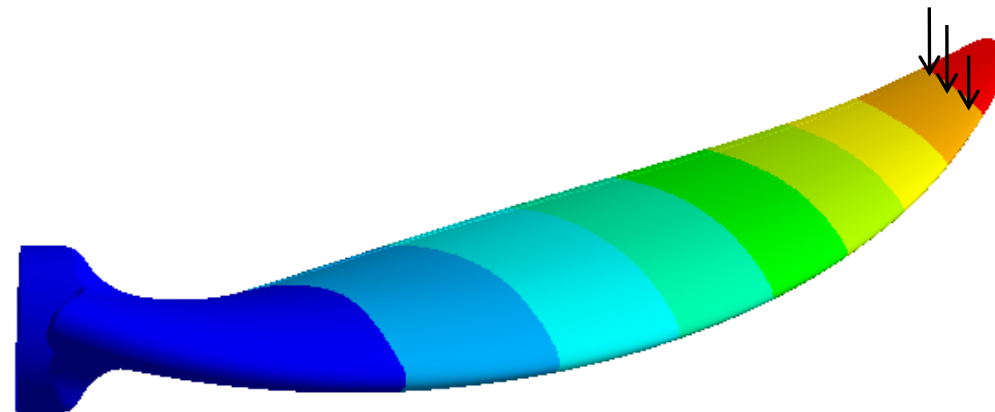
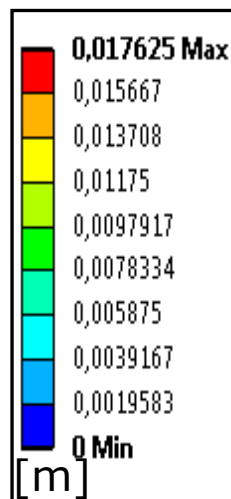
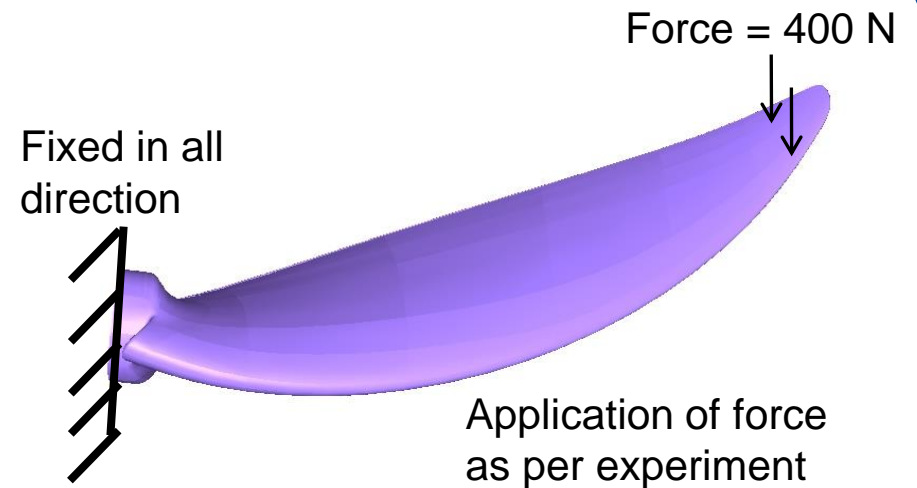
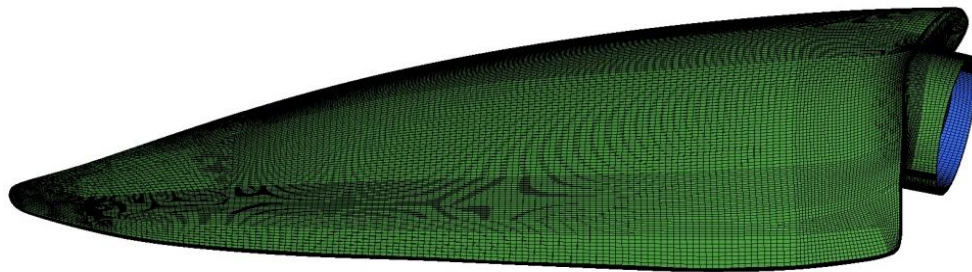
Gap between each layer =
10 micron

Note: Gap is defined to
incorporate the effect of glue
and delamination of layer

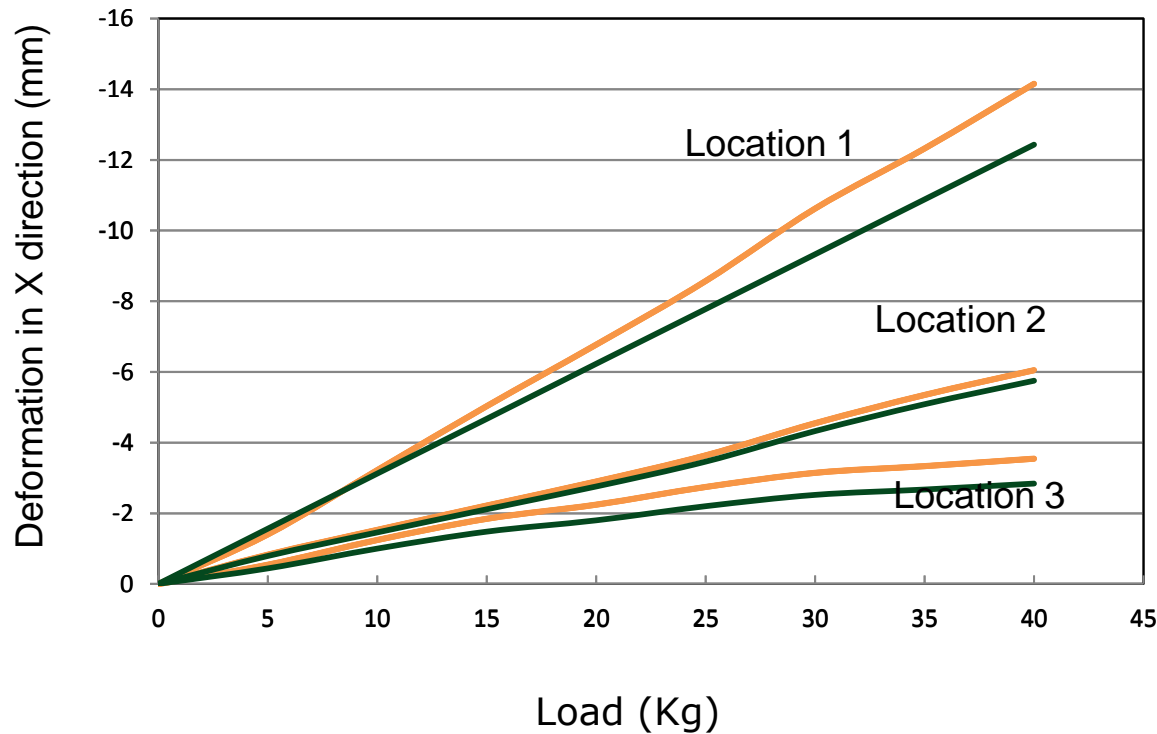
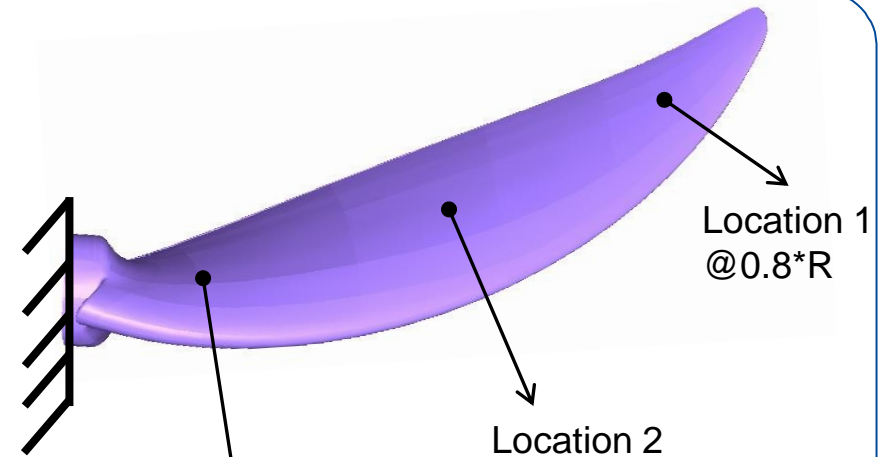
	45 degree Oriented fiber	Random
Young's Modulus X direction	5500 MPa	5500 MPa
Young's Modulus Y direction	8500 MPa	5500 MPa
Young's Modulus Z direction	8500 MPa	5500 MPa
Poisson's ratio XY	0.32	0.32
Poisson's ratio YZ	0.32	0.32
Poisson's ratio XZ	0.32	0.32
Shear Modulus XY	5500 MPa	5500 MPa
Shear Modulus YZ	5500 MPa	5500 MPa
Shear Modulus XZ	5500 MPa	5500 MPa



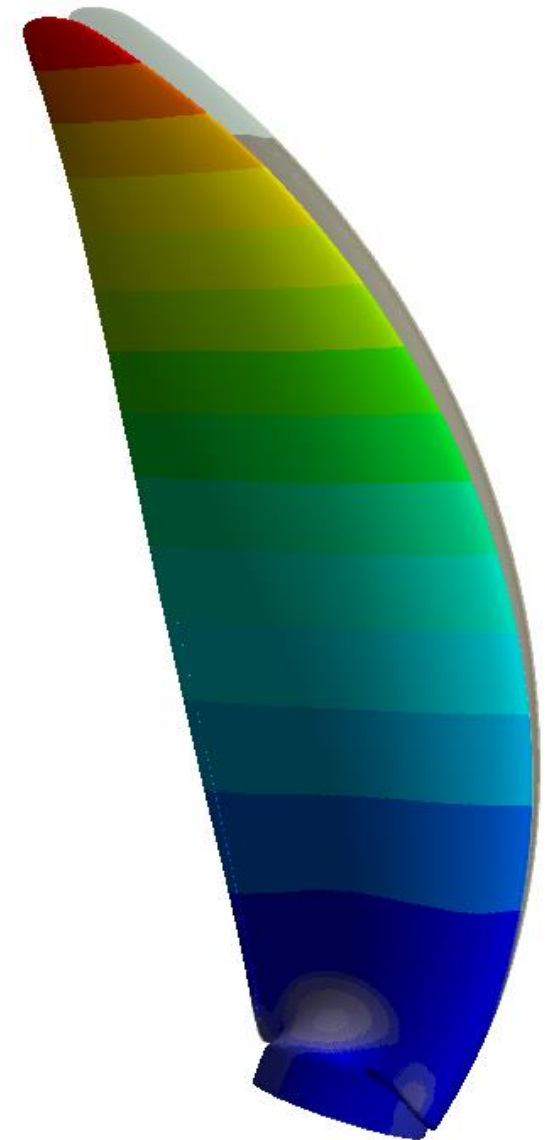
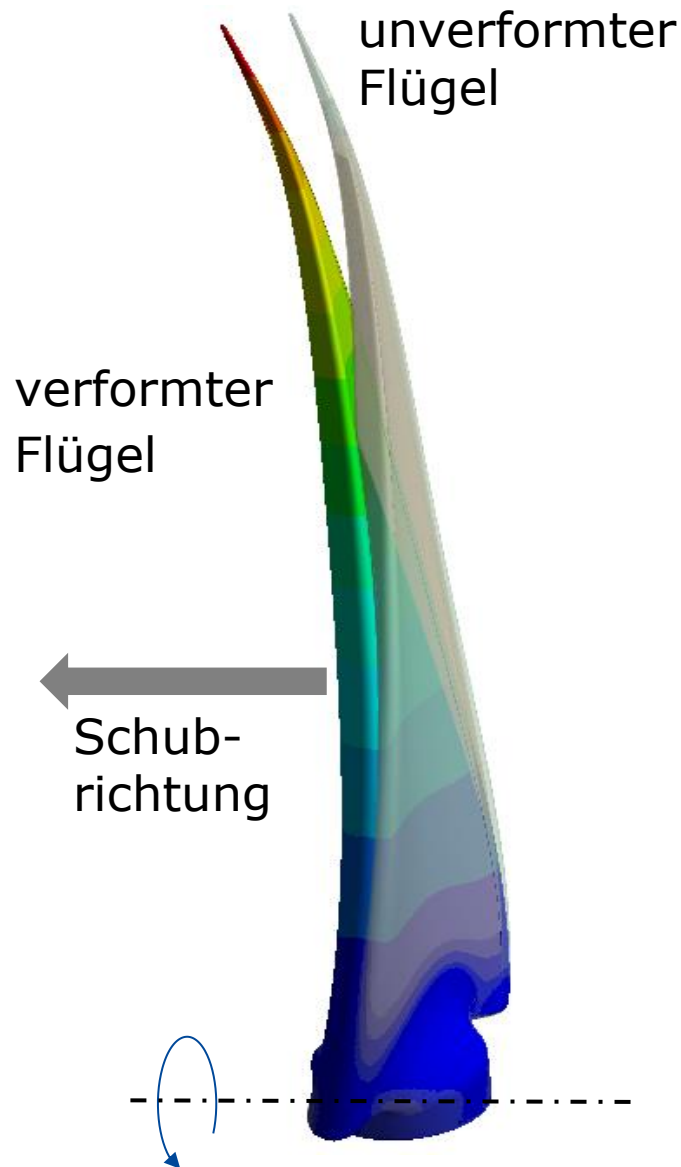
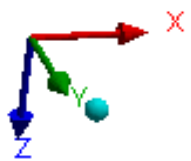
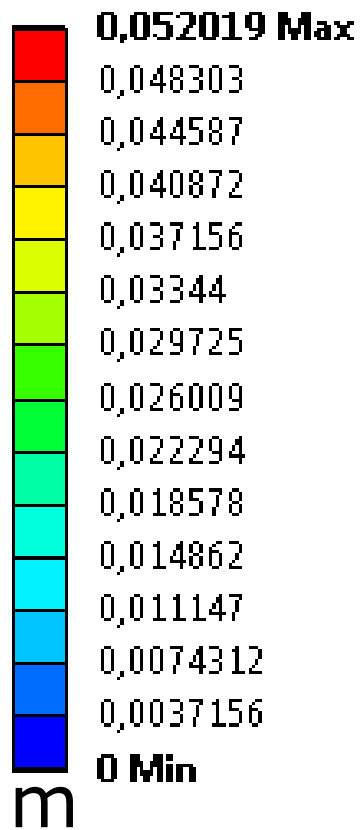
Elements:
586457
Nodes: 685593



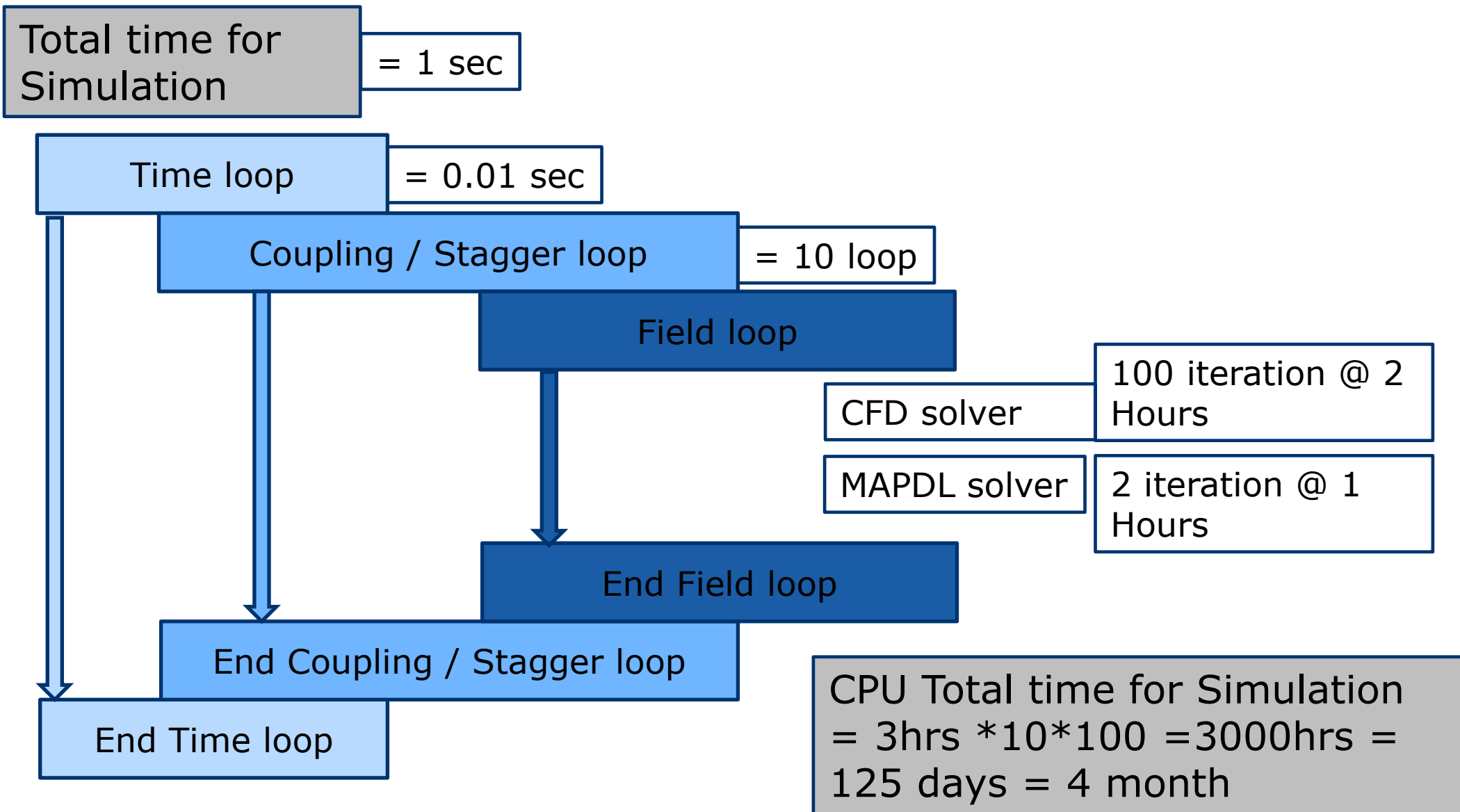
Experimentelle Überprüfung der Werkstoffmodelle



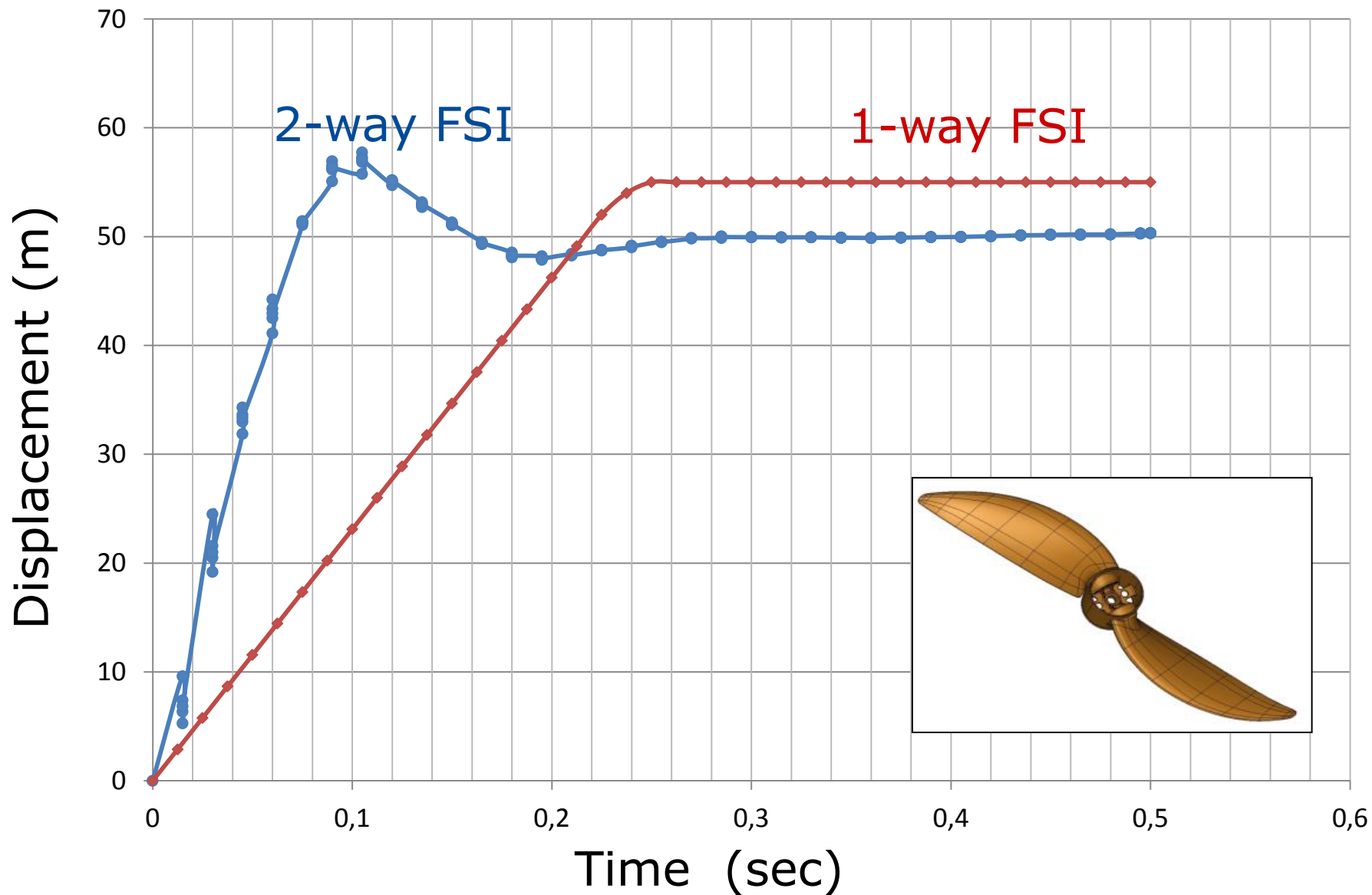
- Experimental results
- Numerical simulation results



Computation time



Vergleich uni-directionale und bi-directionale Simulation -Verformung -

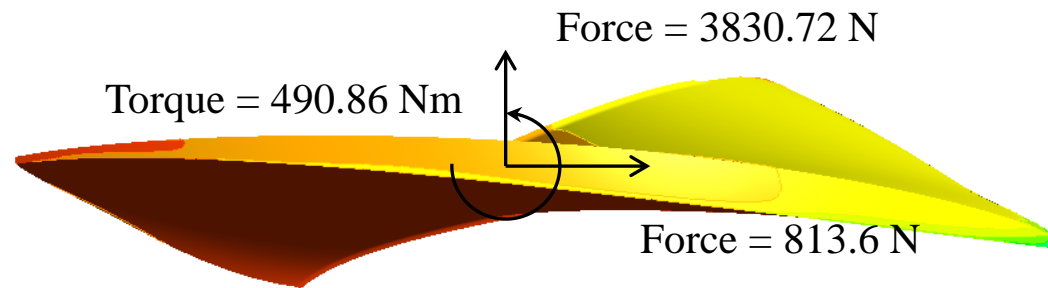




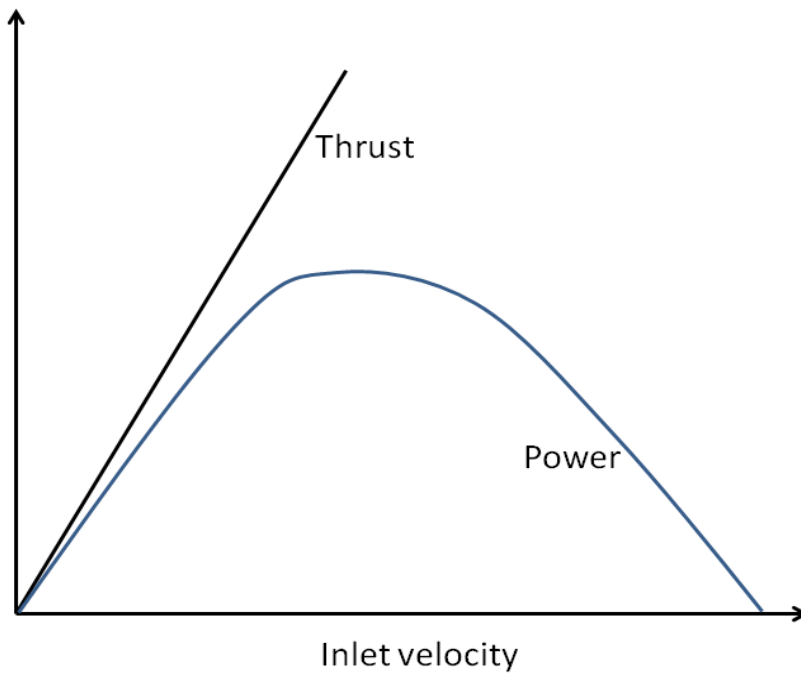
Bewertung mit Bruchkriterien

- von Tsai Wu
- von Puck
- LaRC-Kriterien
- etc.

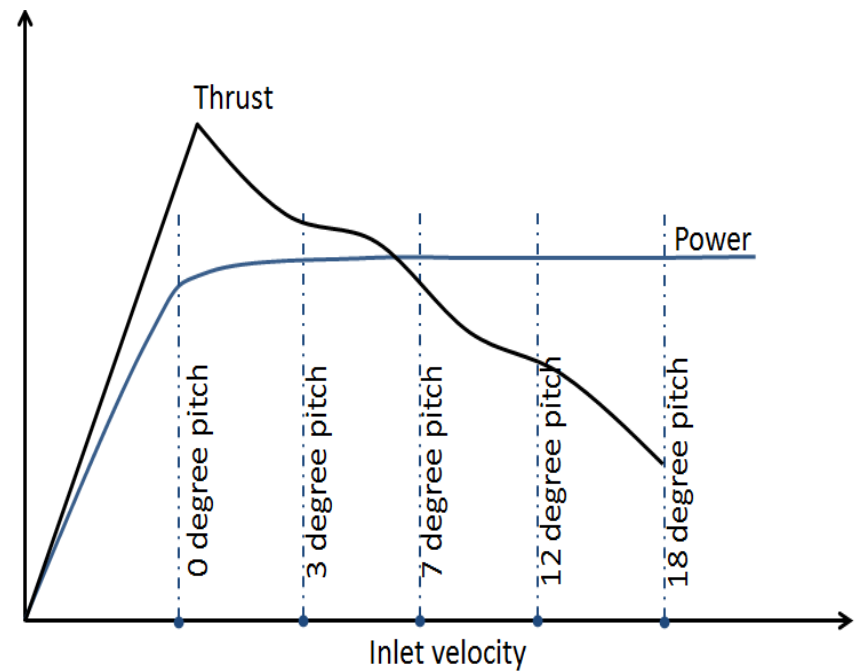
Nutzung der anisotropen Eigenschaften von Faser-Verbund-Werkstoffen



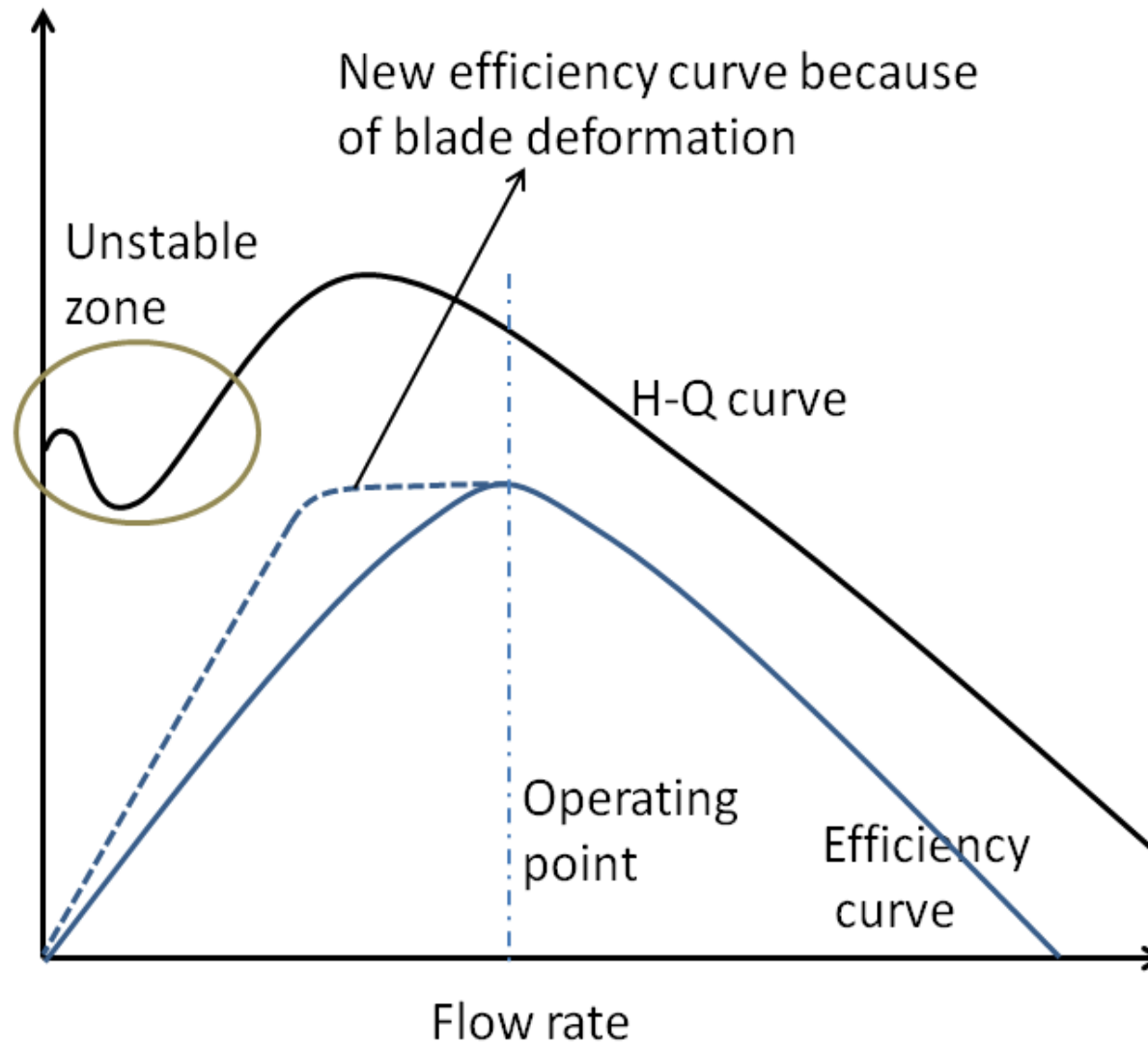
Standardverhalten



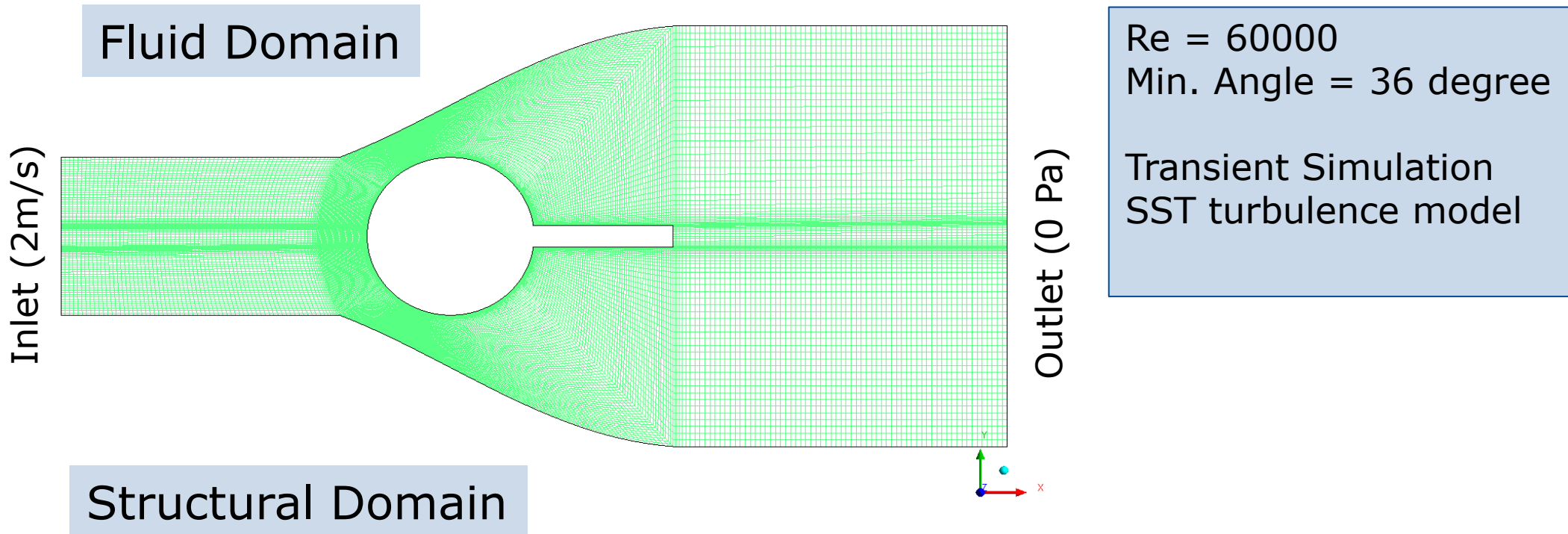
selbständiger pitch der Schaufel



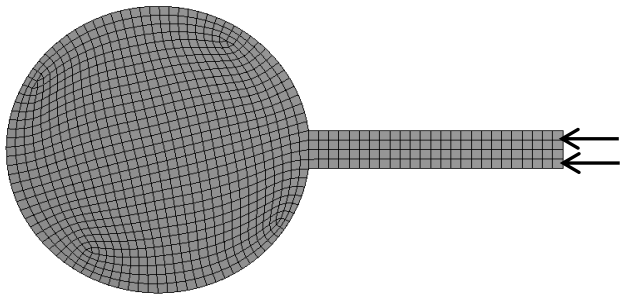
Beeinflussung der Kennlinien einer Propellerpumpe – Ziel!



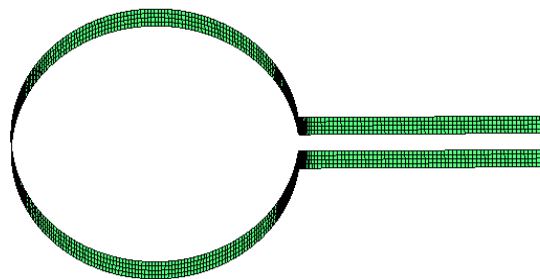
strömungsinduzierte Anregung von Armaturenbauteilen (bi-directional implicit FSI)



Structural Domain

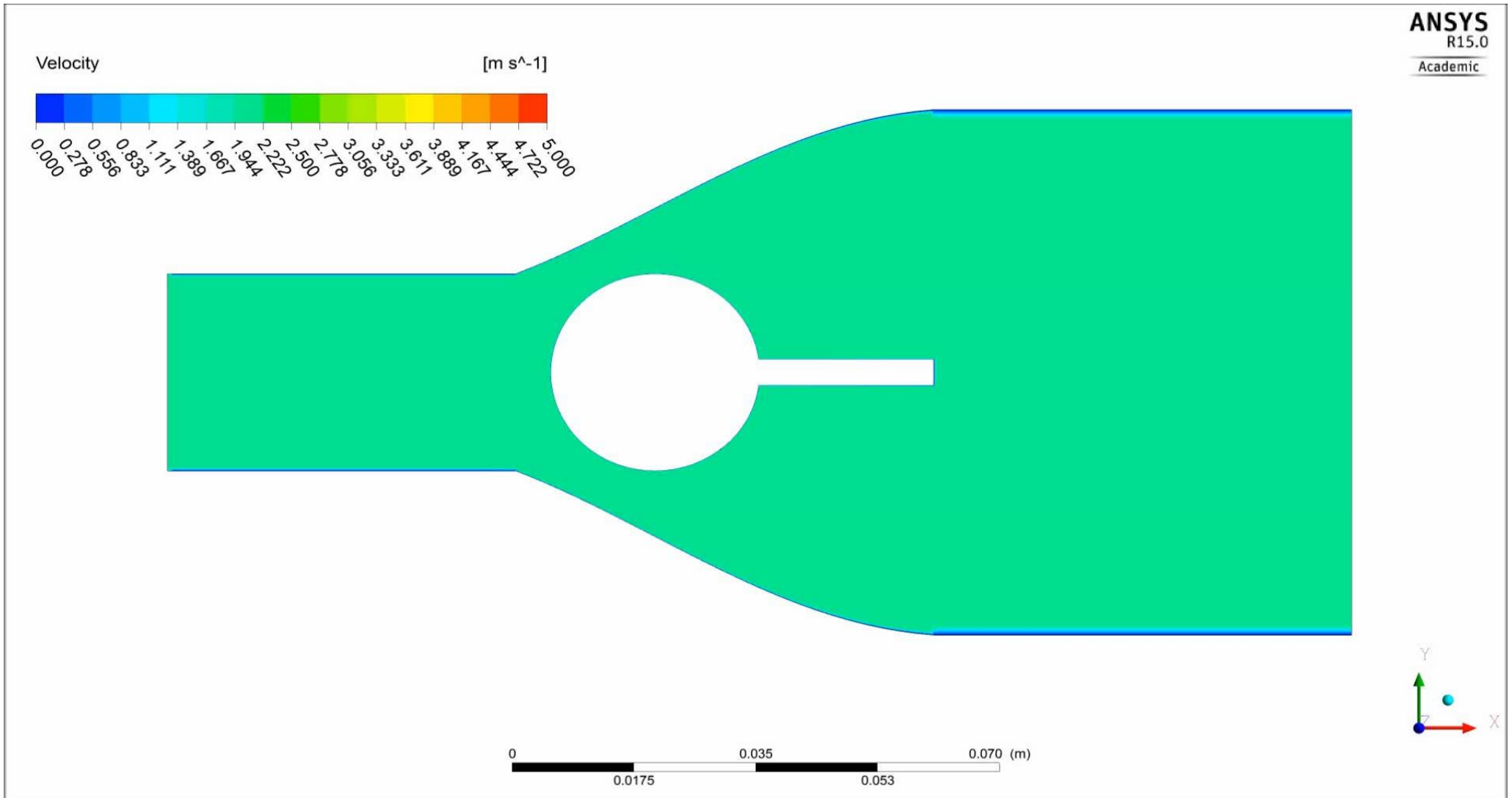


Fixed

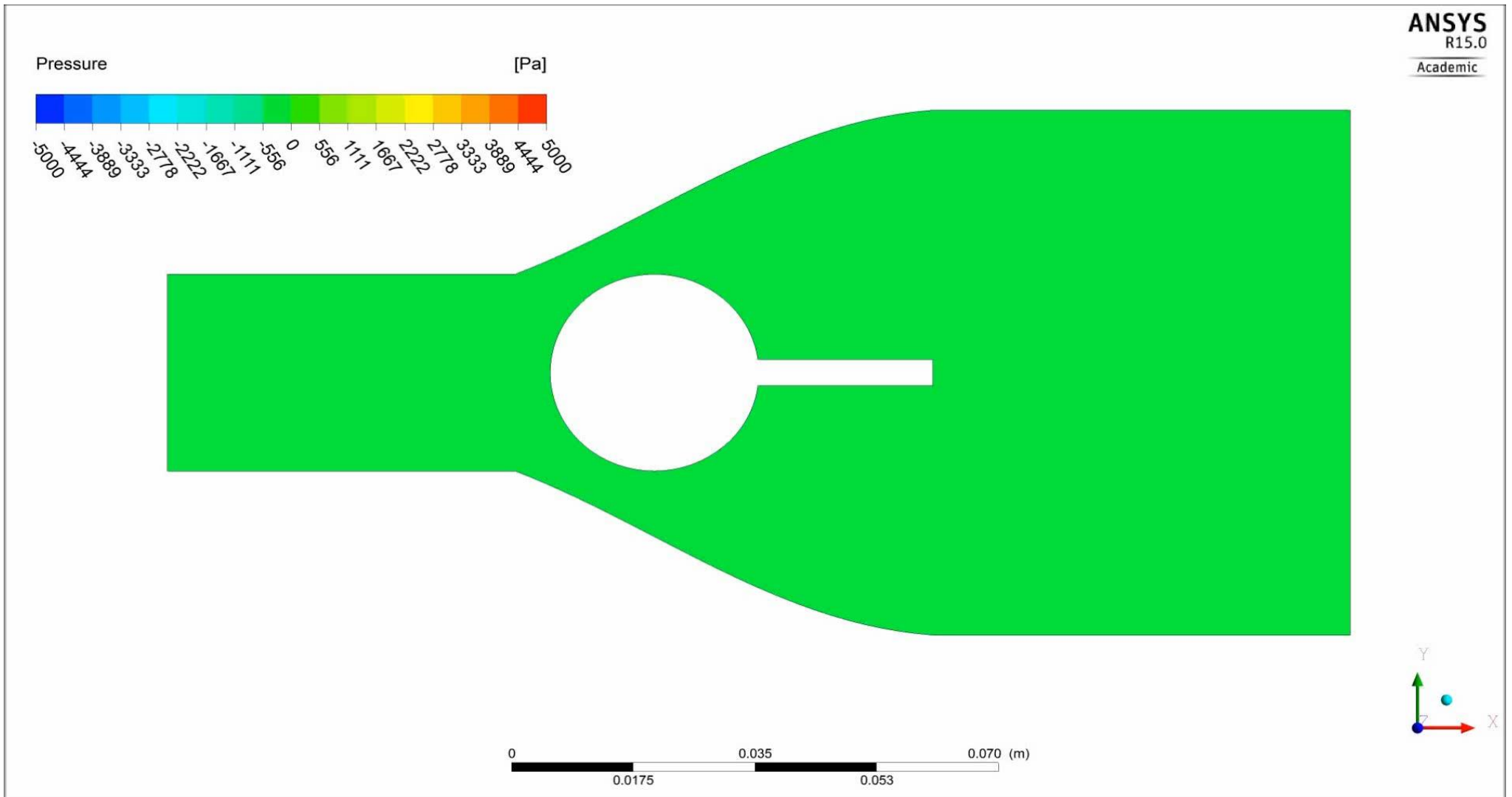


Fluid structure interface

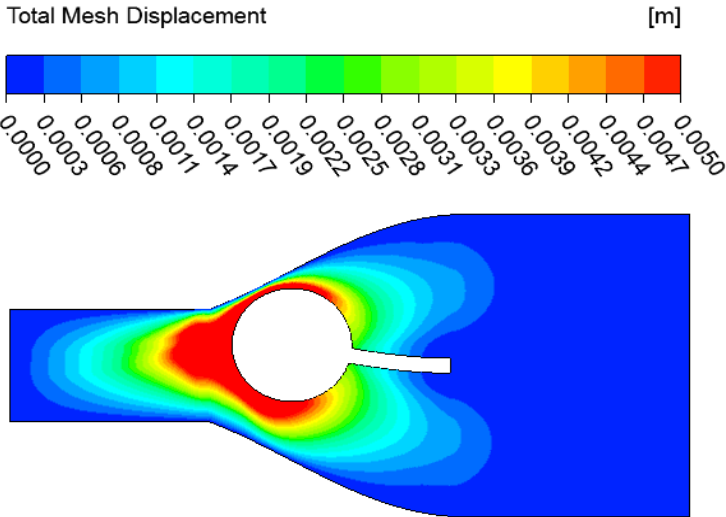
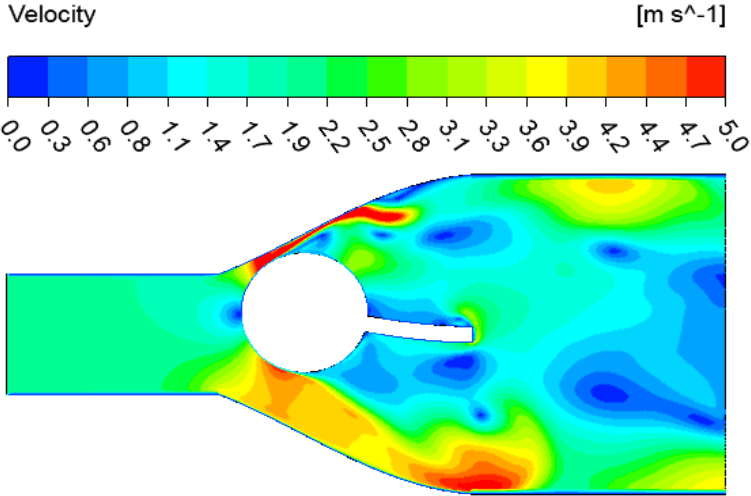
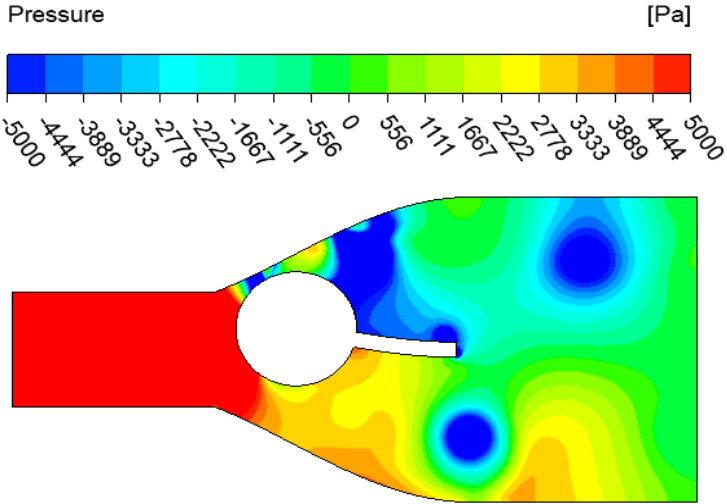
instationäres Geschwindigkeitsfeld



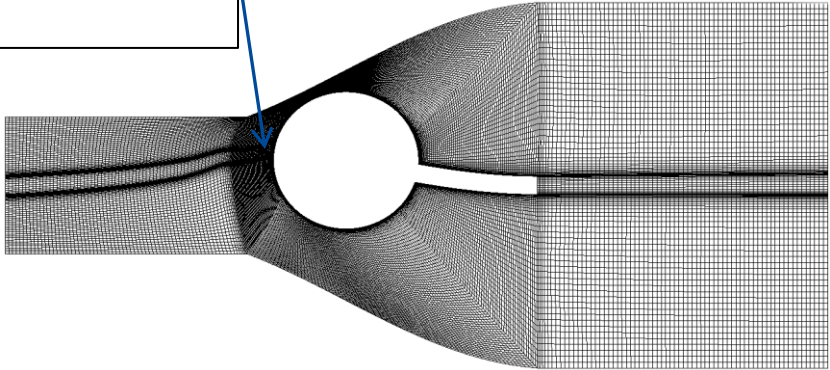
instationäres Druckfeld



Simulationsergebnis nach 0.52 sec



Negative volume created and simulation crashed



Total time for
Simulation

= 1 sec

Time loop

= 0.01 sec

Coupling / Stagger loop

= 10 loop

Field loop

CFD solver

100 iteration @ 2
Hours

MAPDL solver

2 iteration @ 1
Hours

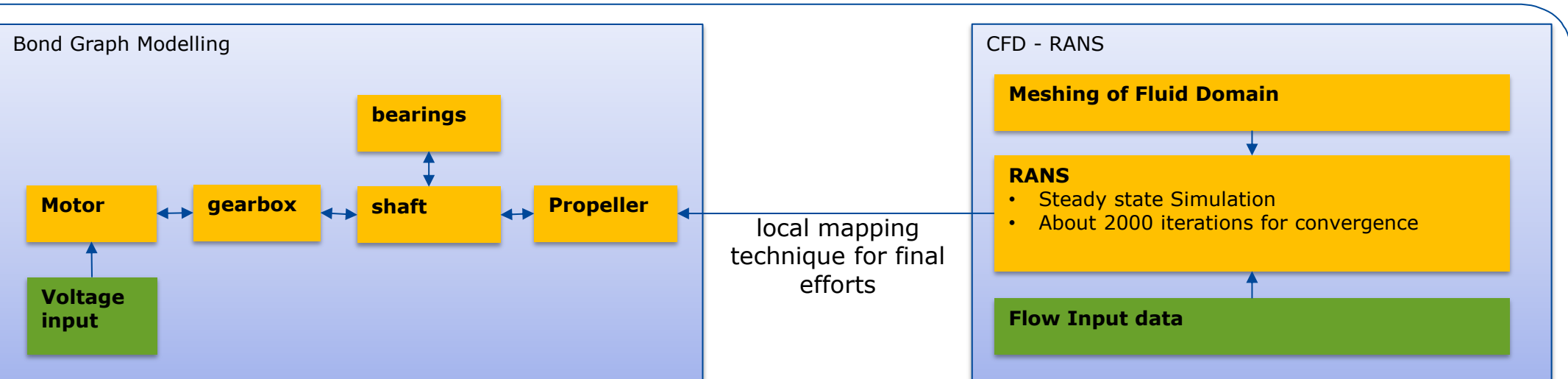
End Field loop

End Coupling / Stagger loop

End Time loop

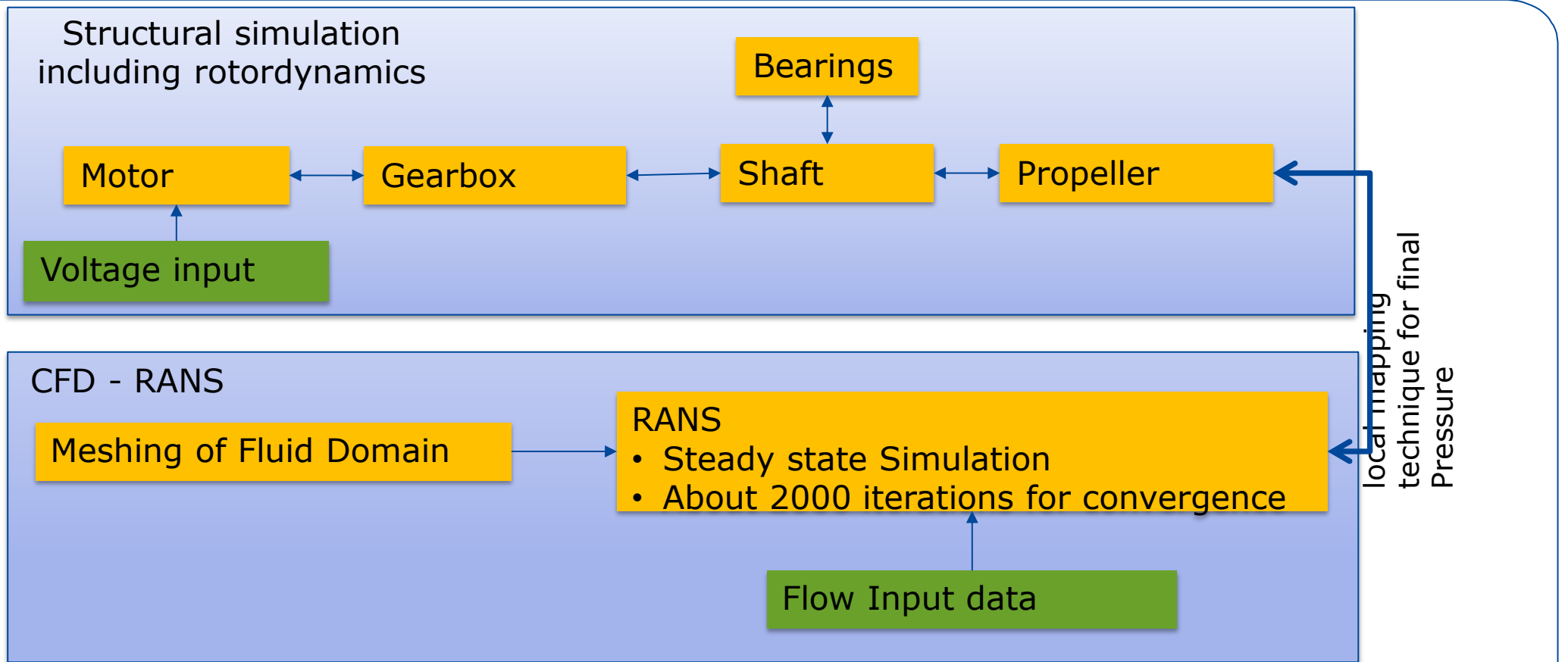
CPU Total time for Simulation
by using 8 processors = 3hrs
*10*100 = 3000hrs = 125 days
= 4 month

Grenzen für die Anwendung implicit FSI

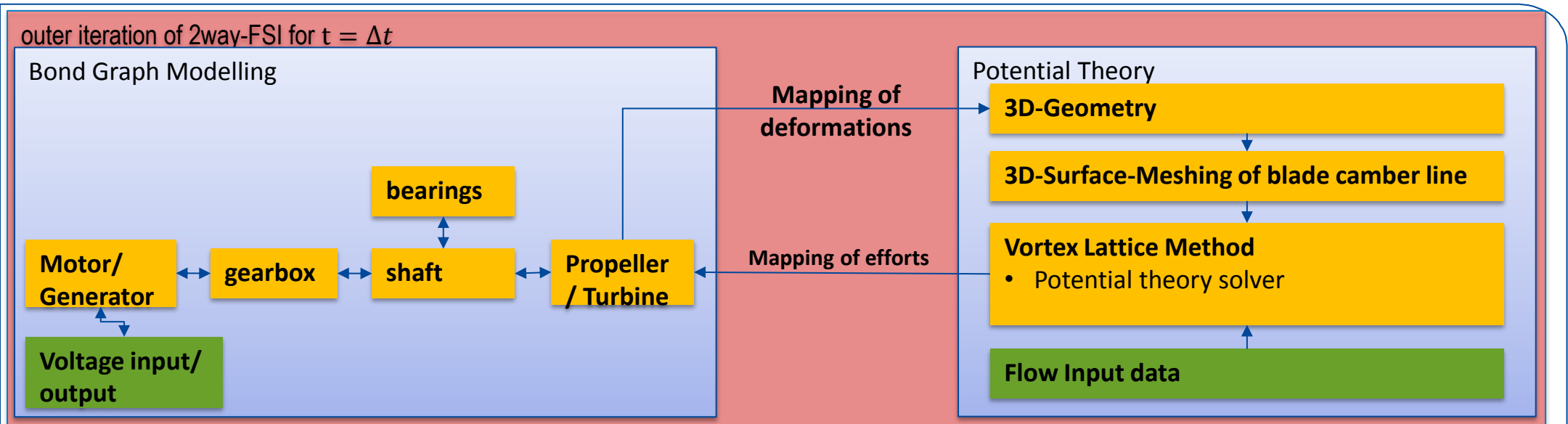


1. Very long CFD-calculation time for solving RANS-equations (est. 3 weeks for 3.2m diameter of propeller) because of large mesh size in stator and rotor domain including boundary layers.
2. Limited to steady state flow conditions because of large computational effort to simulate variations of boundary conditions.
3. No experimental data is available to validate numerical results properly

weiteres Problem: keine sinnvolle Kopplung zu rotordynamischen Berechnungen möglich



- ❑ Very long CFD-calculation time for solving RANS-equations (est. 3 weeks for 3.2m diameter of propeller) because of large mesh size in stator and rotor domain including boundary layers.
- ❑ Rotordynamics analysis including dynamic blade loading will have significantly large computational time.



1. To overcome the long CFD - calculation time it is necessary to reduce the computational effort of the CFD-method by using a potential theory based Vortex-Lattice Method (VLM).
2. Bi-directional Fluid Structure Interaction (2way-FSI) can be simulated
 - Deformations of blade and its influence to fluid domain can be considered, because of reduced CFD-calculation time.
 - Force and torque fluctuations for one flow condition can be considered because an outer iteration process can be added to analyse the dynamic system behaviour.
3. Simulation of transient flow conditions can be possible by reducing the computational effort.

Technical background

1. The Vortex lattice method(VLM) is a numerical method in computational fluid mechanics. It is based on the theory of potential flow. In this ideal fluid flow viscous effects, turbulence, dissipation and boundary layers are neglected, which is valid for a wide variation of engineering applications such as propellers, mixers, wings, etc.
2. VLM provides the pressure distribution on a thin gridded surface by modelling the flow field through horse-shoe shaped vortices (see Fig. 2). Meshing of fluid domain is not necessary.
3. The computational effort of this method is very small compared to common CFD-methods based on the Navier-Stokes equations (DNS, LES, RANS), while accuracy is still in good agreement to reality.

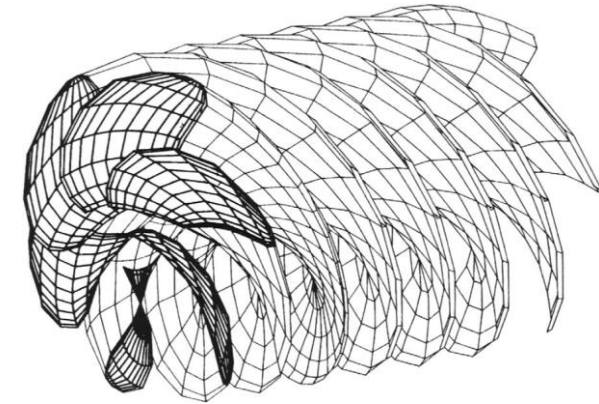
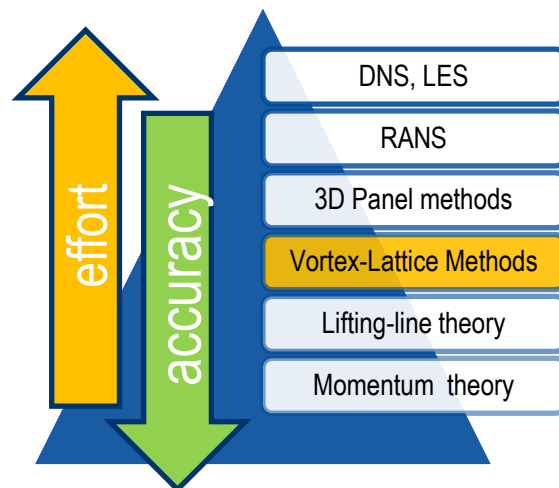


Fig. 1: vortex lattice model of propeller with wake vortex (Volker Bertram – *Practical Ship Hydrodynamics*, Butterworth-Heinemann, 2000)

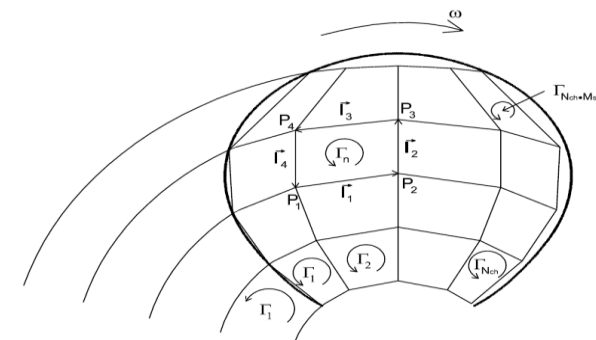
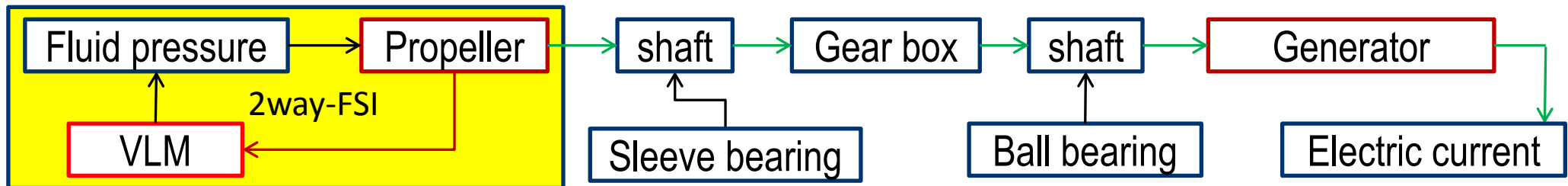
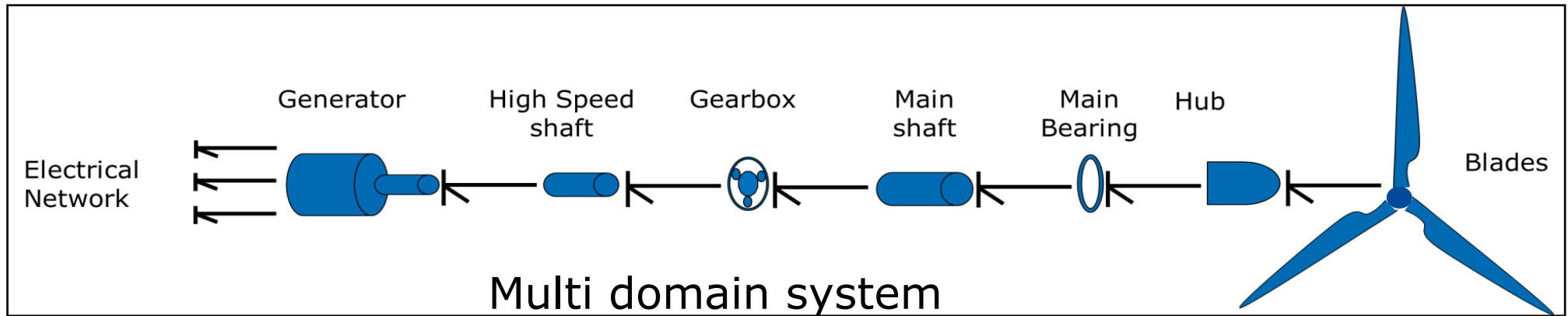


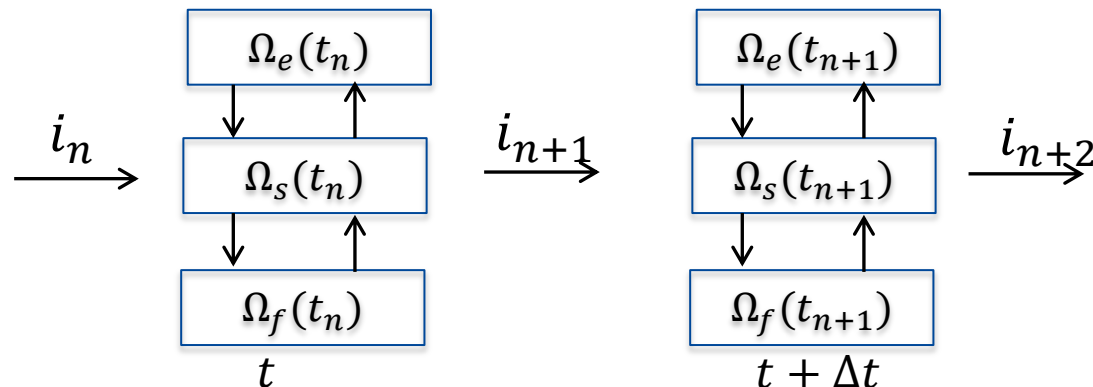
Fig. 2: schematic calculation grid for vortex-lattice-method (Anders Smaerup Olsen – *Optimization of Propellers Using the Vortex-Lattice Method*, PhD thesis, 2001)

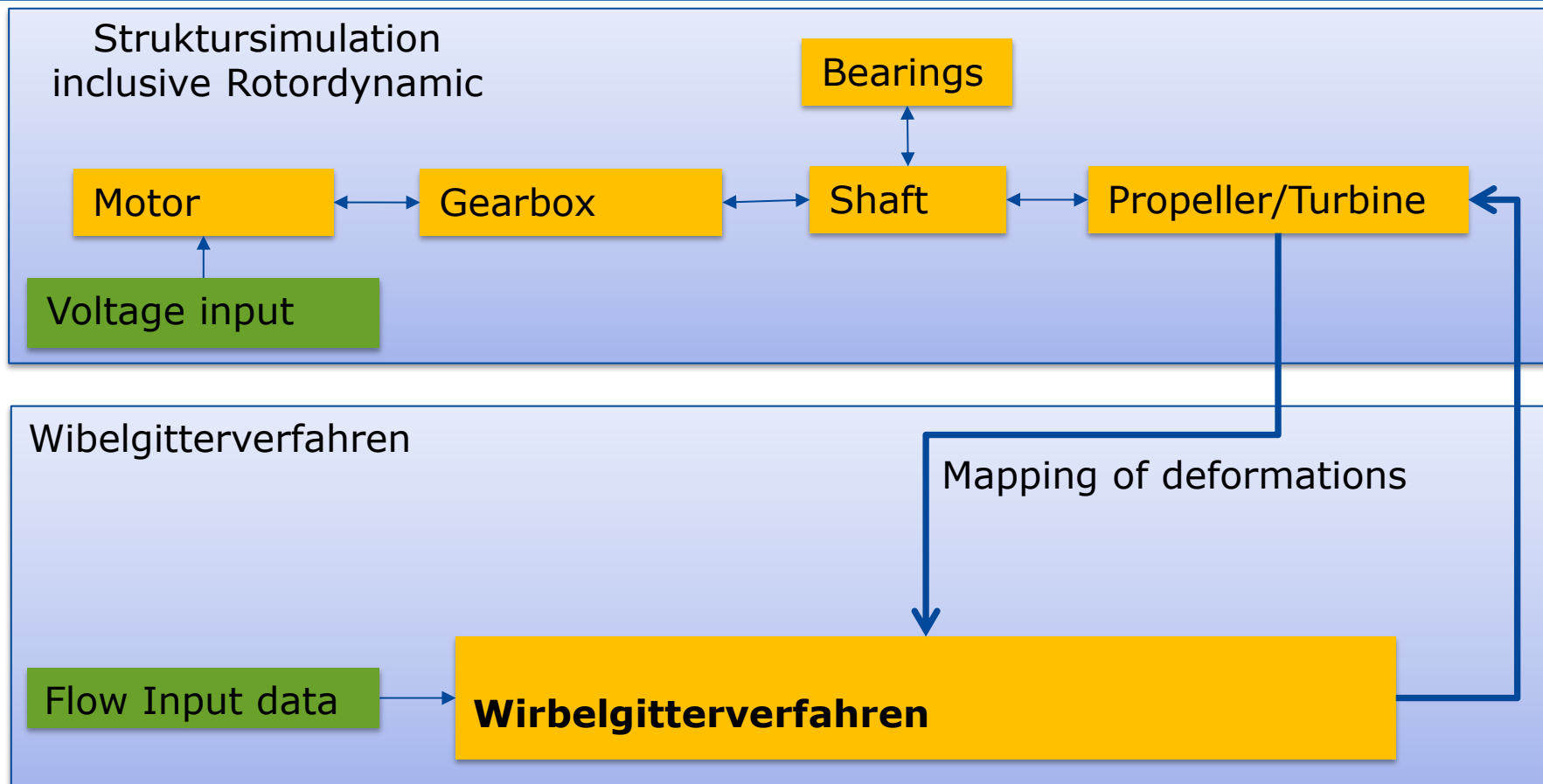


The most important aim is to achieve a fast working **2way-FSI analysis environment**, which models the **dynamic behaviour of a diverse energy domain system** and able to dramatically reduce the **computational effort** of the used CFD-method. So, **Vortex-Lattice Method could be solution for it!**

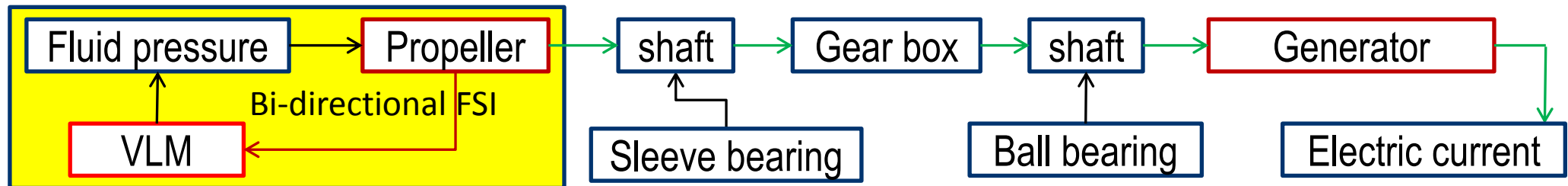


- ❑ Kräfte am Rotor sind in vielen Anwendungen nicht konstant, dies kann zu Schwingungen an den Rotorscheaufeln führen. Diese verursachen eine dynamische Belastung von Lager und Motor, gleiches gilt sinngemäß in entgegengesetzter Richtung.
- ❑ Es ist sinnvoll, eine Methode für die "schnelle" Simulation der verschiedenen Energiedomänen zu haben: Elektromotor mit FU, Mechanik und Strömungsfeld





- ❑ geringer Rechenzeitbedarf des Wirbelgitterverfahrens
- ❑ Rotordynamische Analyse inklusive der dynamischen Blattbelastung ist mit relativ geringem Zeitaufwand möglich.



Das wesentliche Ziel ist es, eine **schnelle bi-directionale FSI Simulationsumgebung** zu erarbeiten, die die Modellierung des **dynamischen Verhaltens mehrerer Energie-Domänen erlaubt** und dafür einen akzeptablen **Rechenzeitbedarf** erzeugt.